



Available online: <https://ijhe.tums.ac.ir>

مقاله پژوهشی



ارزیابی خطر و تعیین بار آلودگی فلزات سنگین (آهن، روی، کادمیم، مس، منگنز و مولیبden) در خاک سطحی شهر القاسم، استان بابل عراق

جواد کاظم نور^۱، عاطفه چمنی^{۲*}، احمدنجم عبداله الموسوی^۳، نرگس کارگری^۴

۱- گروه علوم و مهندسی محیط زیست، دانشکده کشاورزی و منابع طبیعی، واحد اصفهان (خواراسگان)، دانشگاه آزاد اسلامی، اصفهان، ایران

۲- گروه علوم و مهندسی محیط زیست، مرکز تحقیقات پسماند و پساب، واحد اصفهان (خواراسگان)، دانشگاه آزاد اسلامی، اصفهان، ایران

۳- گروه محیط زیست، دانشکده کشاورزی، دانشگاه کربلا، کربلا، عراق

۴- گروه محیط زیست، دانشکده کشاورزی، واحد تاکستان، دانشگاه آزاد اسلامی، تاکستان، ایران

| اطلاعات مقاله: | چکیده |
|----------------|---|
| تاریخ دریافت: | ۱۴۰۳/۰۵/۰۶ |
| تاریخ ویرایش: | ۱۴۰۳/۰۷/۱۰ |
| تاریخ پذیرش: | ۱۴۰۳/۰۷/۱۵ |
| تاریخ انتشار: | ۱۴۰۳/۰۹/۲۱ |
| واژگان کلیدی: | فلزات سنگین، خاک شهری، شاخص‌های آلودگی، خطر سلامت |
| نحوه بررسی: | در این مطالعه توصیفی-مقطعی، در مجموع ۵۰ نمونه خاک سطحی از عمق ۰-۲۰ cm برداشت و محتوی عناصر در آن‌ها با استفاده از طیفسنجی نوری پلاسمای جفت‌شده القایی (ICP-OES) خوانده شد. همچنین، مقادیر شاخص‌های غنی‌شدگی (EF)، بار آلودگی (PLI)، خطر سلامت (HI) و خطر سرطان‌زاوی (CR) محاسبه شدند. داده‌ها نیز با استفاده از نرم‌افزار آماری SPSS مورد پردازش قرار گرفتند. |
| یافته‌ها: | میانگین محتوی عناصر آهن، روی، کادمیم، مس، منگنز و مولیبden در خاک به ترتیب برابر با ۲۷۲۴۰، ۵۷۰، ۰/۳۰۲، ۰/۳۳۸، ۰/۳۲۷ mg/kg بود. بیشینه میانگین محتوی عناصر برای آهن، مس، منگنز و مولیبden در خاک به ترتیب برابر با ۱۰/۸ mg/kg، ۶۳۹، ۰/۳۷۳، ۰/۳۰۳۳۱ و ۰/۳۰۲ mg/kg مربوط به مناطق مرکزی شهر و بیشینه میانگین محتوی عناصر برای روی و کادمیم به ترتیب برابر با ۶۵/۳ و ۰/۳۲۲ mg/kg و مربوط به مناطق روزتایی و حومه شهر بود. |
| نتیجه‌گیری: | نتایج، بیانگر تأثیر فعالیت‌های شهری (ترافیک، صنعت و کشاورزی) بر آلودگی عناصر آهن، روی، کادمیم، مس، منگنز و مولیبden خاک در شهر القاسم بوده است. از این‌رو، به منظور کاهش و مدیریت خطر محیط‌زیستی و سلامتی، پایش منظم محتوی فلزات سنگین و شناسایی منابع آلودگی عناصر در خاک توصیه می‌شود. |

پست الکترونیکی نویسنده مسئول:

atefchamani@yahoo.com

Please cite this article as: Kadhim Noor J, Chamani A, Najm Abdallah Al-Mosawy A, Kargari N. Evaluation of risk and pollution load of heavy metals (Fe, Zn, Pb, Cd, Cu, Mn, and Mo) in surface soil of Al-Qasim city, Babylon governate, Iraq. Iranian Journal of Health and Environment. 2024;17(3):417-40.

مقدمه

پژوهشی و فن‌آوری پراکنشی وسیع در محیط شهری داردند (۷). بهطور کلی، افزایش بیماری‌های گوارشی، کلیوی، اختلالات عصبی، قلبی و بروز انواع سرطان از عوارض جذب مقادیر بیشتر از حد مجاز این عناصر بهشمار می‌آیند (۸، ۹). از این‌رو، تعیین محتوای فلزات سنگین در خاک شهری، بهعنوان شاخص مهم و جامع کیفیت زیست‌بوم شهری، برای حفظ سلامت بوم‌سامانه شهری (Urban Ecosystem) و شهروندان در حال گسترش است (۱۰).

ارزیابی کمی آلودگی و خطر بهداشتی مرتبط با آلاینده‌های فلزی خاک با استفاده از شاخص‌های آلودگی گامی مهم برای تعیین وضعیت و مدیریت آلودگی محسوب می‌شود. در این خصوص، شاخص‌های غنی‌شدگی، آلودگی و بار آلودگی ابزارهای متدالو و مناسب برای تحلیل وضعیت آلودگی بهشمار می‌آیند (۱۱). شاخص خطر سلامت نیز رویکردی مهم در ارزیابی و تعیین خطرات غیرسرطان‌زا و سرطان‌زا مرتبط با فلزات سنگین بر سلامت انسان از طریق مواجهه با خاک آلوده است (۱۲).

تاکنون در رابطه با تعیین محتوی و ارزیابی آلودگی و خطر سلامت فلزات سنگین خاک سطحی شهری چندین مطالعه در شهرهای مختلف سراسر دنیا انجام شده است که از جمله می‌توان به بررسی ویژگی‌های آلودگی فلزات سنگین در خاک سطحی شهر شیان چین (۱۳)، ارزیابی تغییرات فصلی و خطر سلامت فلزات سنگین در خاک شهری گجرات هند (۱۴)، ارزیابی آلودگی فلزات سنگین در خاک شهری سنتیف الجزایر (۱۵)، آلودگی فلزات سنگین خاک وین اتریش (۱۶)، تعیین محتوی عناصر سمی در خاک الکترونیک عراق (۱۷)، ارزیابی خطر سلامت عناصر بالقوه سمی در خاک شهری رانگاری هند (۱۸)، ارزیابی خطر سلامت انسان و شناسایی منشاء عناصر بالقوه سمی در خاک شهری ایروان ارمنستان (۱۹)، ارزیابی آلودگی و خطر بهداشتی عناصر فلزی در خاک شهر اووا روسیه (۲۰)، ارزیابی آلودگی عناصر بالقوه سمی در خاک سطحی شهری خرم‌آباد (۲۱)،

فلزات سنگین به عنوان گروهی از آلاینده‌های معدنی پایدار و بالقوه سمی، عناصری هستند که به‌دلیل قابلیت انباست و سمیت زیستی توجه جهانی را به‌خود جلب کرده‌اند (۱). در دهه‌های اخیر، انتشار و انباست مداوم این آلاینده‌ها به‌سبب رشد شتابان و فراینده اجتماعی، اقتصادی، صنعتی و شهرنشینی منجر به افزایش آلودگی اجزای مختلف زیست‌سپهر (آب، خاک و هوا) به‌ویژه در مناطق شهری شده است (۳، ۲). در این بین، آلودگی خاک شهری با فلزات سنگین به‌سبب توزیع گسترده و ماندگاری طولانی آلاینده‌های فلزی در این ماتریس محیطی و به عنوان تهدیدی بالقوه برای پایداری محیطی و سلامت زیست‌مندان (Biota) از اهمیتی ویژه برخوردار است (۴).

اگرچه، محتوی عناصر فلزی خاک به‌طور طبیعی تحت تأثیر فرآیندهای زمین‌زایی است، اما فعالیت‌های فراینده انسانی در مناطق شهری (ترافیک، صنعت و احتراق سوخت‌های فسیلی) منجر به افزایش غلظت آن‌ها در خاک و به‌تبع آن آلودگی زیست‌بوم (Biome) شهری شده است (۵). چنین روند افزایشی محتوی آلاینده‌های فلزی خاک شهری نه تنها نمایان گر ظرفیت زیاد انباست آلاینده‌های فلزی در خاک به عنوان مخزن اصلی تهنشست فلزات سنگین است، بلکه می‌تواند به عنوان منبع بالقوه انتقال آلودگی به‌طور غیرمستقیم و به واسطه کاهش کیفیت هوا، آب و گیاه (از طریق تبادلات پیوسته محیطی) مخاطره بالقوه محیط‌زیستی و بهداشتی برای سلامت بوم‌سازگان (Ecosystem) و انسان محسوب شود (۶). افزون بر این، مواجهه مستقیم انسان با ذرات خاک آلوده (از طریق بلع، استنشاق و تماس پوستی) می‌تواند اثرات بالقوه مهم و نامطلوب بر سلامت شهروندان بر جای گذارد. در این خصوص، عناصر آهن، روی، کادمیم، مس، منگنز و مولیبدن به عنوان اجزای تشکیل‌دهنده پوسته زمین، به‌دلیل وجود در ساختار سوخت و کاربردهای گسترده صنعتی، خانگی، کشاورزی،

نمونه برداری از خاک سطحی

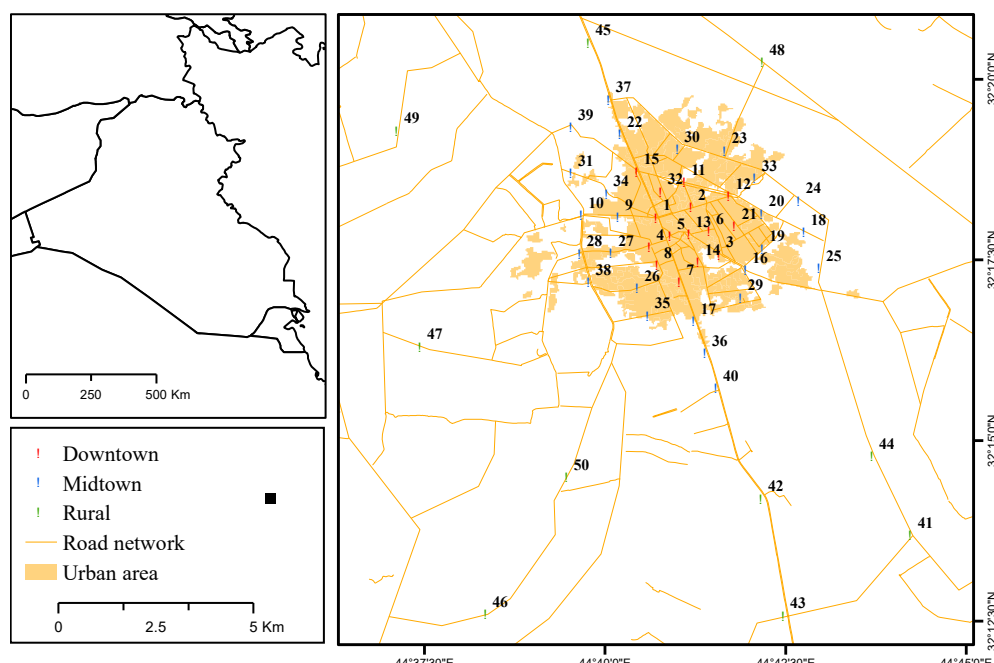
در این پژوهش توصیفی-مقطعی، پس از انجام بررسی‌های اولیه میدانی و با لحاظ کردن محدودیت‌های زمانی و مالی، نسبت به نمونه‌برداری از خاک سطحی شهر القاسم استان بابل عراق اقدام شد. در این راستا و نظر به وسعت منطقه مورد مطالعه از یکسو و از طرفی، بهمنظور پراکنش کاملاً متناسب و یکنواخت نمونه‌ها در محدوده مطالعه‌ی، نمونه‌برداری بهروش منظم-تصادفی انجام شد. بر این اساس، پس از تقسیم منطقه مورد مطالعه به شبکه‌هایی منظم در مجموع ۵۰ نقطه در محل تلاقی شبکه‌ها به صورت تصادفی انتخاب و به عنوان مکان نمونه‌برداری لحاظ شد. فاصله شبکه‌ها در مناطق شهری (مرکز و حومه شهر با شدت استفاده زیاد از زمین و بافت متراکم‌تر) 3×3 km در مناطق روستایی 9×9 km در نظر گرفته شد. در نهایت، پس از مراجعه به هر مکان نمونه‌برداری (با استفاده از دستگاه موقعیت‌یاب مکانی)، از هر مکان حدود ۱ kg خاک سطحی (عمق ۰-۰ cm) به روش استاندارد با استفاده از بیلچه استیل ضدنگ به صورت ترکیبی از مرکز و رئوس پلات مربعی به ضلع ۱۰ m (محل تلاقی شبکه‌ها به عنوان مرکز پلات) برداشت و برای تهیه یک نمونه همگن از هر مکان نمونه‌برداری، نمونه‌های خاک سطحی جمع‌آوری شده از هر مکان با یکدیگر مخلوط و به کیسه‌های پلی‌اتیلنی زیپ‌دار منتقل شدند. از این‌رو، تعداد کل نمونه‌های خاک سطحی در مجموع ۵۰ عدد بود. در نهایت، نمونه‌ها برای انجام سایر مراحل آماده‌سازی به آزمایشگاه منتقل شدند (۲۱). موقعیت جغرافیایی مکان‌های نمونه‌برداری با استفاده از دستگاه GPS ثبت و مکان استقرار آن‌ها در شکل ۱ نشان داده شده است.

ارزیابی آلودگی فلزات سنگین در خاک شهری کرج (۲۲)، بررسی ژئوشیمیایی و محیط‌زیستی آلودگی فلزات سنگین در خاک‌های منطقه شهری اصفهان (۱۰)، تعیین وضعیت، منشاء‌یابی و ارزیابی خطر سلامت عناصر سمی بالقوه در خاک سطحی شهر اراك (۲۳) و ارزیابی خطر شاهروд (۲۴) اشاره کرد. این در حالی است که طبق بررسی سوابق، مطالعه جامع و مشابهی در این خصوص در شهر القاسم به عنوان یکی از شهرهای بزرگ استان بابل عراق انجام نشده است. افزون بر این، نظر به روند افزایشی توسعه شهری و اجتماعی شهر القاسم و تاثیر شهرنشینی بر محتوی و مخاطرات بالقوه محیط‌زیستی و بهداشتی آلودگی احتمالی خاک سطحی، این پژوهش با هدف تعیین محتوی، ارزیابی آلودگی و خطر سلامت عناصر آهن، روی، کادمیم، مس، منگنز و مولیبدن در خاک سطحی شهر القاسم در امتداد شیب شهرنشینی (مناطق مرکزی شهر، حومه شهر و روستایی) در سال ۱۴۰۲ انجام یافت.

مواد و روش‌ها

معرفی منطقه مورد مطالعه

این مطالعه در شهر القاسم (طول جغرافیایی ۴۴ درجه ۴۱/۵ دقیقه و عرض جغرافیایی ۳۱ درجه و ۱۸ دقیقه شمالی)، واقع در بخش جنوی استان بابل در منطقه فرات مرکزی، تقریباً ۱۲۸ کیلومتری جنوب بغداد، پایتخت کشور عراق انجام شده است (شکل ۱). جمعیت این شهر بیش از ۸۱۵۰۰ نفر (۲۵) و دارای آب و هوای بیابانی با تغییرات قابل ملاحظه دما بین فصول و همچنین بین روز و شب است (۲۶). تراکم ساختمان‌ها و جاده‌ها به تدریج از مرکز شهر کاهش می‌یابد و یک چشم‌انداز پراکنده شهری-کشاورزی/زمین بایر در منطقه میان شهر تشکیل می‌دهد. در محدوده اطراف شهر، اراضی کشاورزی و زمین‌های بایر کاربری غالب است.



شکل ۱- موقعیت ایستگاههای نمونه برداری

آهن، روی، کادمیم، مس، منگنز و مولیبدن خوانده شدند. تضمین و کنترل کیفیت (Quality Assurance/Quality Control) (001-SQC) اندازه گیری ها با استفاده از مرجع استاندارد خاک (001-SQC) خریداری شده از شرکت سیگما-آلدریج اسپانیا انجام شد. همچنین، نرخ بازیابی (Recovery Rate) عناصر نیز برای اطمینان از دقت روش مورد استفاده برای تعیین محتوی عناصر مورد مطالعه محاسبه شد. نتایج حاصل از درصد بازیابی عناصر (بین ۹۰/۶ تا ۹۷/۹ درصد) نشان داد که روش مورد استفاده برای تعیین مقادیر عناصر مورد مطالعه از اطمینان کافی و دقت خوب برخوردار بوده است. همچنین، مقادیر حد تشخیص (Limit of Detection) برای عناصر آهن، روی، کادمیم، مس، منگنز و مولیبدن به ترتیب برابر با ۰/۰۸۲، ۰/۰۵۶، ۰/۰۷۳، ۰/۰۷۸ و ۰/۰۶۹ mg/kg و مقادیر محدودیت کمی (Limits of Quantification) این عناصر نیز به ترتیب ۰/۰۹ mg/kg و ۰/۲۲۸، ۰/۱۷۲، ۰/۲۳۱، ۰/۲۱۵ و ۰/۲۰۹ mg/kg برابر با

آماده سازی نمونه های خاک و تعیین محتوی عناصر در آنها نمونه های خاک پس از هوا خشک شدن در آزمایشگاه، برای حذف ذرات بزرگ و بقایای آلی از الک ۲/۰ mm عبور داده شده و در کیسه های پلی اتیلنی در دمای ۴°C نگهداری شدند (۲۷).

به منظور تعیین غلظت کل عناصر در نمونه های خاک، g/۰/۲۵ از هر نمونه خاک سطحی و mL ۱۰ اسید نیتریک (۶۸ درصد)، mL ۱۰ اسید هیدروفلوریک (۳۸ درصد) و mL ۵ اسید پر کلریک (۷۰ درصد) به ظروف هضم ۵۰ mL ۵۰ منتقل شدند. محلول ها روی هیتر در دمای ۲۰۰°C ۲۰۰ تا زمان شفاف شدن حرارت داده شدند. پس از آن، عصاره ها پس از سرد شدن توسط کاغذ صافی و اتمن ۴۲ به فالکون های mL ۲۵ منتقل و با آب دوبار تقطیر به حجم رسانده شدند (۲۸). در نهایت، پس از ساخت محلول مادر (استوک) و استانداردنمک عناصر و کالیبره کردن دستگاه (ES, Varian, Australia) ICP-OES-710

$$PI = \frac{C_s}{C_b} \quad (2)$$

در معادله ۲:

C_s و C_b به ترتیب نشان‌دهنده محتوی عنصر مورد نظر در نمونه خاک سطحی و غلظت عنصر در پوسته زمین هر دو بر حسب mg/kg هستند (۳۴). در این خصوص، مقادیر PI کوچک‌تر از ۱ نشان‌دهنده شرایط "آلودگی کم" و در محدوده ۱-۳ بیانگر "آلودگی متوسط" هستند. این در حالی است که مقادیر PI در محدوده ۳-۶ و بزرگ‌تر از ۶ به ترتیب "آلودگی زیاد" و "آلودگی خیلی زیاد" را توصیف می‌کنند (۳۵).

$$PLI = \sqrt[n]{PI_1 \times PI_2 \times PI_3 \times \dots \times PI_n} \quad (3)$$

در معادله ۳:

n به ترتیب نشان‌دهنده تعداد عناصر و شاخص آلودگی هر یک از عناصر مورد مطالعه هستند. مقادیر PLI کوچک‌تر از ۱ شرایط "آلودگی کم" و در محدوده ۱-۲ شرایط "آلودگی متوسط" را توصیف می‌کنند. این در حالی است که مقادیر PLI در محدوده ۲-۳ و بزرگ‌تر از ۳ به ترتیب بیانگر شرایط "آلودگی زیاد" و "آلودگی خیلی زیاد" هستند (۳۷، ۳۸).

از زیبایی خطر سلامت عناصر در این پژوهش، از روش ارایه شده توسط آژانس حفاظت از محیط زیست ایالات متحده آمریکا (United States Environmental Protection Agency: USEPA) برای ارزیابی خطر سلامتی عناصر کمیاب استفاده شد. بر این اساس، میزان مواجهه با خاک آلوده برای دو گروه کودک و بزرگسال از سه مسیر اصلی مواجهه شامل بلع مستقیم، استنشاق و جذب پوستی با استفاده از مقدار متوسط دوز روزانه (Average Daily Dose: ADD) به ترتیب با استفاده از معادلات ۴ تا ۶ محاسبه شدند (۳۸):

$$ADD_{ing} = C_{sample} \times \frac{IngR \times EF \times ED}{BW \times AT} \times 10^{-6} \quad (4)$$

حاصل شد.

محاسبه مقادیر شاخص‌های غنی‌شدگی (EF)، آلودگی (PI) و بارآلوجی (PLI)

برای ارزیابی آلودگی و تأثیر عوامل انسانی احتمالی بر محتوی عناصر کمیاب مورد مطالعه در نمونه‌های خاک سطحی، فاکتور غنی‌شدگی با استفاده از معادله ۱ محاسبه شد (۲۹):

$$EF = \frac{\left(\frac{C_m}{C_b}\right)_{sample}}{\left(\frac{C_m}{C_b}\right)_{background}} \quad (1)$$

در معادله ۱:

C_m/C_b sample نسبت محتوی عنصر مورد مطالعه به محتوی عنصر مرجع در نمونه خاک سطحی بر حسب C_m/C_b background و mg/kg غلظت زمینه عنصر مورد مطالعه (برابر با ۴۰/۲، ۴۷۲۰۰، ۰/۲۳۰، ۰/۲۳۰، ۰/۲۸۰ و ۰/۲۸۰ به ترتیب برای عناصر آهن، روی، کادمیم، مس، منگنز و مولیبدن) به غلظت زمینه عنصر مرجع هر دو بر حسب mg/kg هستند (۳۰). در این مطالعه، عنصر آهن با توزیع یکنواخت به عنوان عنصر مرجع در نظر گرفته شد. مقادیر EF کوچک‌تر از ۱ و ۳، به ترتیب نشان‌دهنده شرایط "بدون غنی‌شدگی" و "غنی‌شدگی کم"، در محدوده ۵-۳ بیانگر "غنی‌شدگی متوسط" و در محدوده ۵-۱۰ نیز نشان‌دهنده "غنی‌شدگی زیاد" هستند. همچنین، مقادیر EF در محدوده ۱۰-۲۵ و ۲۵-۵۰ به ترتیب شرایط "غنی‌شدگی شدید" و "غنی‌شدگی خیلی شدید" را توصیف می‌کنند. این در حالی است که مقادیر EF بزرگ‌تر از ۵ بیانگر غنی‌شدگی فوق العاده شدید است. از دیگر سو، مقادیر غنی‌شدگی بین ۰/۵۰۰ تا ۲/۰ بیانگر منشا طبیعی عنصر است، در حالی که مقادیر بزرگ‌تر از ۲/۰ از این شاخص، تأثیر عوامل انسانی بر آلودگی عنصر را نمایندگی می‌کند (۳۱، ۳۲).

همچنین، به منظور تعیین سطح آلودگی خاک ناشی از عناصر مورد مطالعه شاخص‌های PI و PLI با استفاده از معادلات ۲ و ۳ محاسبه شدند (۳۳):

(Hazard Index: HI) با استفاده از معادلات ۷ و ۸ محاسبه شدند (۳۸):

$$HQ_i = \frac{ADD_i}{RfD_i} \quad (7)$$

$$HI = \sum_{i=1}^{n=i} HQ_i \quad (8)$$

در معادلات ۷ و ۸:

ADD نشان‌دهنده میانگین مقدار جذب روزانه عناصر از طریق هر یک از مسیرهای مواجهه (mg/kg/day) و RfD (mg/kg/day) به عنوان مقدار مرجع (mg/kg/day) بیانگر تخمینی از مواجهه روزانه یک عنصر خاص در جمعیت انسانی (هم برای کودکان و هم برای بزرگسالان) هستند. مقادیر RfD در جدول ۱ آورده شده‌اند. مقادیر $HQ/HI \leq 1$ نشان‌دهنده "خطر کم" یا بدون خطر اثرات غیرسرطان‌زا" است. این در حالی است که $HQ/HI > 1$ احتمال بروز اثرات نامطلوب غیرسرطان‌زا به نمایندگی می‌کند (۴۰).

در همین حال، برای برآورد اثرات سرطان‌زا خاک آلوده به عناصر، خطر سرطان‌زا به یک مسیر واحد (CR) و تجمعی ناشی از سه مسیر مواجهه (TCR) با استفاده از معادلات ۹ و ۱۰ محاسبه شدند (۴۱):

$$CR = ADD_i \times CSF_i \quad (9)$$

$$TCR = \sum_{i=1}^{n=i} CR_i \quad (10)$$

در معادلات ۹ و ۱۰:

ADD_i بیانگر میانگین مقدار جذب روزانه عناصر از طریق هر یک از مسیرهای مواجهه (mg/kg/day) و CSF_i نیز بیانگر فاکتور شیب سرطان‌زا برای هر عنصر مورد مطالعه (mg/kg/day) هستند. مقادیر CSF در جدول ۱ آورده شده‌اند. مقدار $CR/TCR < 1 \times 10^{-6}$ نشان می‌دهد

$$ADD_{inh} = C_{sample} \times \frac{InhR \times EF \times ED}{PEF \times BW \times AT} \quad (5)$$

$$ADD_{derma} = C_{sample} \times \frac{SA \times AF \times ABS \times EF \times ED}{BW \times AT} \times 10^{-6} \quad (6)$$

در معادلات ۴ تا ۶:

ADD_{dermal} و ADD_{ing} به ترتیب مقدار میانگین جذب روزانه عناصر از طریق بلع مستقیم، استنشاق و تماس پوستی (mg/kg/day) را نمایندگی می‌کنند. C_{sample} نشان‌دهنده محتوای عناصر در نمونه خاک سطحی ذرات خاک (mg/kg)، IngR و InhR نیز به ترتیب میزان مصرف ۲۰۰ mg/day برای کودکان و ۱۰۰ mg/day برای بزرگسالان) و نرخ استنشاق ذرات خاک (۷/۶۰ m³/day برای کودکان و ۱۲/۰ m³/day برای بزرگسالان) را نشان می‌دهند. EF بیانگر فرکانس مواجهه (day/year) برای کودکان و بزرگسالان)، ED نشان‌دهنده زمان مواجهه خاک آلوده (years) ۶ برای کودکان PEF و AT و years ۲۴ برای بزرگسالان)، BW و PEf و AT و years ۱۸۰ day/year) را نشان می‌دهند. CSF_i بیانگر میانگین وزن بدن (kg) برای کودکان و ۷۰ kg برای بزرگسالان)، میانگین طول عمر (برای اثرات غیرسرطان‌زا برابر با ۳۶۵ day و برای اثرات سرطان‌زا نیز برابر با ۳۶۵ day) و ضریب انتشار ذرات سرطان‌زا (برابر با ۷۲/۳۶۵)، SA نشان‌دهنده سطح پوست در معرض خاک آلوده (۲۸۰۰ cm² برای کودکان و ۵۷۰۰ cm² برای بزرگسالان)، AF عامل چسبندگی پوست (۰/۲۰۰ day/mg/cm²) و ABS کودکان و ۰/۰۷۰ day/mg/cm² برای بزرگسالان) و نیز عامل جذب پوستی (برابر با ۰/۰۰۱ day/mg/cm²) هستند (۳۹).

همچنین، به منظور ارزیابی خطر بیماری‌زا غیرسرطان‌زا ناشی از یک مسیر و کل مسیرهای مواجهه به ترتیب ضریب خطر (Hazard Quotient: HQ) و شاخص خطر

می‌کند. علاوه بر این، $\text{CR}/\text{TCR} \leq 1 \times 10^{-4}$ بیانگر خطر سرطان‌زای غیرقابل قبول است (۴۲).

که هیچ خطر قابل توجهی برای سلامتی وجود ندارد. این در حالی است که $\text{CR}/\text{TCR} \leq 1 \times 10^{-4}$ خطر سرطان‌زای تحت شرایط نظارت را نمایندگی

جدول ۱- مقادیر مرجع و فاکتور شیب برای ارزیابی خطر سلامت (غیرسرطان‌زا و سرطان‌زا) (۳۹)

| CSF (mg/kg/day) | | | RfD (mg/kg/day) | | | عنصر |
|-----------------------|---------|--------|-----------------------|-----------------------|-----------------------|---------|
| پوست | استنشاق | بلغ | پوست | استنشاق | بلغ | |
| - | - | - | $7/00 \times 10^{-1}$ | $7/00 \times 10^{-1}$ | $7/00 \times 10^{-1}$ | آهن |
| - | - | - | $3/00 \times 10^{-1}$ | $3/00 \times 10^{-1}$ | $3/00 \times 10^{-1}$ | روی |
| $5/00 \times 10^{-5}$ | $7/30$ | $6/10$ | $1/00 \times 10^{-5}$ | $1/00 \times 10^{-3}$ | $1/00 \times 10^{-3}$ | کادمیم |
| - | - | - | $1/20 \times 10^{-1}$ | $4/02 \times 10^{-2}$ | $4/00 \times 10^{-2}$ | مس |
| - | - | - | $1/84 \times 10^{-3}$ | $1/43 \times 10^{-5}$ | $4/60 \times 10^{-5}$ | منگنز |
| - | - | - | $5/00 \times 10^{-3}$ | $4/00 \times 10^{-2}$ | $5/00 \times 10^{-3}$ | مولیبدن |

یافته‌ها

آمار توصیفی مربوط به تعیین مقادیر عناصر کمیاب در نمونه‌های خاک سطحی آمار توصیفی مربوط به محتوی عناصر مورد ارزیابی در نمونه‌های خاک سطحی در جدول ۲ آورده شده است. بر این اساس، محتوی عناصر آهن، روی، کادمیم، مس، منگنز و مولیبدن در خاک به ترتیب با میانگین دامنه 0.99 mg/kg ، 27240 mg/kg ، 570 mg/kg و 5.02 mg/kg در

پردازش آماری داده‌ها

پردازش آماری داده‌ها با استفاده از نسخه ۱۹ نرم افزار SPSS انجام یافت. بدین صورت که برای بررسی نرمال بودن توزیع داده‌ها و فرض برابری واریانس‌ها به ترتیب از آزمون‌های کلموگروف-اسمیرنوف (Kolmogorov-Smirnov: K-S) و لوین (Levene Test) استفاده شد. از آزمون تی تک نمونه‌ای (One Sample t-Test) نیز برای مقایسه میانگین محتوی عناصر با مقادیر زمینه استفاده شد.

بهترتب با $65/4$ و mg/kg $0/332$ به مناطق رostایی و حومه شهر تعلق دارند. از طرفی، روند کاهشی میانگین محتوی عناصر آهن، منگنز، مولیبدن و مس در امتداد شیب شهرنشینی به صورت مرکز شهر > رostایی > حومه شهر بوده است. این در حالی است که میانگین محتوی عنصر کادمیم در امتداد شیب شهرنشینی از روند نزولی حومه شهر > رostایی > مرکز شهر و برای عنصر روی از روند کاهشی رostایی > مرکز شهر > حومه شهر تبعیت کرد.

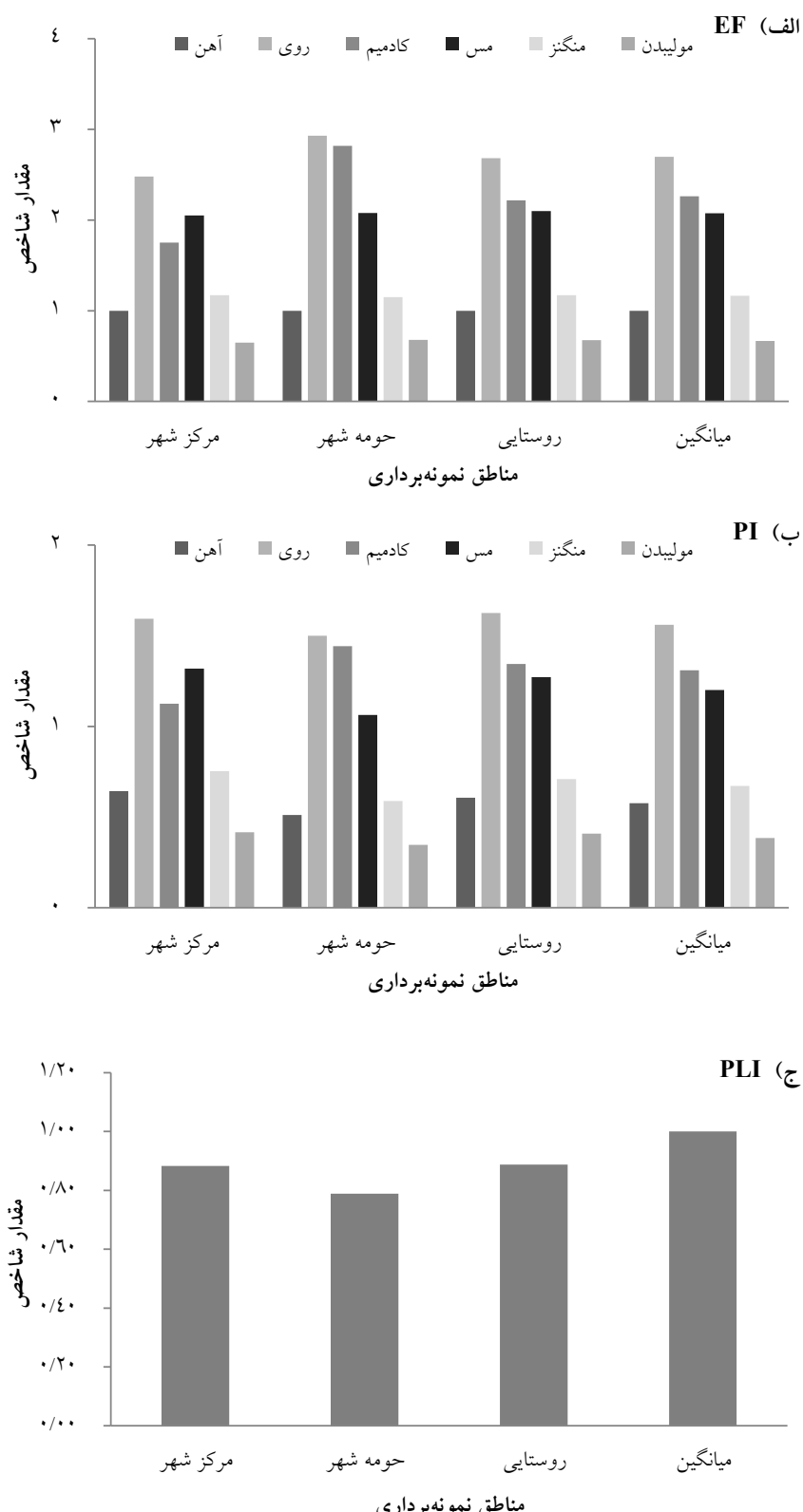
$824-320 mg/kg$, $86/0-230 mg/kg$, $0/5000-100 mg/kg$ و $2/0000-050 mg/kg$ متفاوت بوده است. همچنین، میانگین محتوی عناصر از روند نزولی آهن > منگنز > روی > مس > مولیبدن > کادمیم تبعیت کرد. از طرفی، بیشینه میانگین محتوی عناصر آهن، مس، منگنز و مولیبدن در خاک بهترتب با میانگین 30331 , $37/3$, 30331 و 639 و $1/08$ mg/kg همگی مربوط به مناطق مرکزی شهر بوده است. این در حالی است که بیشینه میانگین محتوی عناصر روی و کادمیم در نمونه‌ها

جدول ۲- آمار توصیفی محتوی عناصر مورد مطالعه در نمونه‌های خاک مورد مطالعه

| عنصر (mg/kg) | | | | | | | مکان نمونه برداری |
|--------------|-------|------|--------|------|-------|---------------------|-------------------|
| مولیبدن | منگنز | مس | کادمیم | روی | آهن | | |
| ۱/۰۸ | ۶۳۹ | ۳۷/۳ | ۰/۲۵۸ | ۶۴/۱ | ۳۰۳۳۱ | مرکز شهر (۱۷ نمونه) | |
| ۰/۹۰۲ | ۵۰۰ | ۳۰/۱ | ۰/۳۳۲ | ۶۰/۳ | ۲۴۱۶۰ | حومه شهر (۲۲ نمونه) | |
| ۱/۰۶ | ۶۰۳ | ۳۶/۰ | ۰/۳۰۹ | ۶۵/۳ | ۲۸۶۲۴ | رostایی (۱۱ نمونه) | |
| ۰/۹۹۹ | ۵۷۰ | ۳۳/۸ | ۰/۳۰۲ | ۶۲/۷ | ۲۷۲۴۰ | میانگین | |

میانگین مقادیر EF عناصر روی، کادمیم، مس و منگنز بهترتب برابر با $2/26$, $2/208$ و $2/16$ و غنی‌شدگی کم خاک به این عناصر در منطقه مورد مطالعه را نشان می‌دهد ($3 < EF$). با این حال، میانگین مقادیر EF عنصر مولیبدن برابر با $0/691$ و نشان‌دهنده عدم غنی‌شدگی خاک منطقه مورد مطالعه به این عنصر بود ($1 < EF$). از طرفی، روند نزولی میانگین مقادیر شاخص غنی‌شدگی برای عناصر به شرح روی > کادمیم > مس > منگنز > مولیبدن بود.

نتایج محاسبه شاخص‌های آلدگی نتایج محاسبه شاخص غنی‌شدگی (نمودار ۱-الف) نشان‌دهنده آن است که میانگین مقادیر محاسبه شده EF در مناطق مرکزی شهر، حومه شهر و rostایی برای عناصر روی، کادمیم، مس، منگنز و مولیبدن بهترتب در دامنه $2/68-0/674$, $2/48-0/647$ و $2/93-0/677$ متفاوت بوده و بیانگر شرایط کیفی "بدون غنی‌شدگی" تا "غنی‌شدگی کم" این عناصر در همه مناطق نمونه‌برداری است. همچنین،



نمودار ۱- مقادیر شاخص‌های (الف) EF، (ب) PI و (ج) PLI عناصر آهن، روسی، کادمیم، مس، منگنز و مولیبدن در نمونه‌های خاک سطحی

نتایج ارزیابی خطر سلامت عناصر

نتایج ارزیابی خطر غیرسلطان‌زایی عناصر مورد مطالعه از طریق مواجهه با خاک آلوده در جدول ۳ آورده شده است. بر این اساس، میانگین مقادیر شاخصهای HQ_{der} , HQ_{inh} , HQ_{ing} و HI برای عناصر آهن، روی، کادمیم، مس، منگنز و مولیبدن در هر دو گروه کودک و بزرگسال و در همه مناطق نمونه‌برداری کوچکتر از یک و بیانگر عدم بروز خطر غیرسلطان‌زایی ناشی از مواجهه با خاک آلوده به این عناصر بود. همچنین، سطوح خطر غیرسلطان‌زا برای عناصر مورد مطالعه از طریق مسیرهای سه گانه برای کودکان از ترتیب کاهشی بلع < تماس پوستی > استنشاق و برای بزرگسالان از ترتیب کاهشی بلع < استنشاق > تماس پوستی تبعیت کرد. از سوی دیگر، روند نزولی میانگین خطر غیرسلطان‌زایی عناصر ناشی از بلع ذرات خاک آلوده برای هر دو گروه عناصر ناشی از استنشاق ذرات خاک آلوده برای هر دو گروه کودک و بزرگسال از روند کاهشی منگنز < آهن > مس < کادمیم > روی < مولیبدن بود. به علاوه، میانگین خطر غیرسلطان‌زایی عناصر ناشی از استنشاق ذرات خاک آلوده برای هر دو گروه کادمیم < روی > مولیبدن پیروی کرد. این در حالی است که روند نزولی میانگین مقادیر خطر غیرسلطان‌زایی عناصر ناشی از تماس پوستی با ذرات خاک آلوده برای هر دو گروه سنی به صورت منگنز < آهن > کادمیم < مولیبدن > روی < مس حاصل شد.

با استناد به نتایج محاسبه شاخص آلودگی (نمودار ۱-ب)، میانگین مقادیر محاسبه شده PI در مناطق مرکزی شهر، حومه شهر و روستایی برای عناصر آهن، روی، کادمیم، مس، منگنز و مولیبدن به ترتیب در دامنه $1/590-416$, $1/347$, $1/620-409$, $1/577$, $1/671$ و $1/384$ و نشان‌دهنده آلودگی کم خاک به این عناصر در همه مناطق نمونه‌برداری است. همچنین، میانگین مقادیر محاسبه شده PI برای عناصر آهن، منگنز و مولیبدن به ترتیب برابر با $1/31$, $1/56$, $1/883$ و $1/887$ و سطح آلودگی متوسط خاک به این عنصر در منطقه مورد مطالعه را نمایندگی می‌کند ($PI \leq 3$). همچنین، روند نزولی میانگین مقادیر شاخص آلودگی برای عناصر به صورت روی < کادمیم > مس < منگنز > آهن < مولیبدن حاصل شد. نتایج محاسبه شاخص بار آلودگی (نمودار ۱-ج) نشان‌دهنده آن است که میانگین مقادیر محاسبه شده PLI در مناطق مرکزی شهر، حومه شهر و روستایی به ترتیب برابر با $2/84 \times 10^{-1}$, $2/96 \times 10^{-6}$, $2/98 \times 10^{-4}$ و $2/85 \times 10^{-1}$ هستند. همچنین، میانگین مقادیر محاسبه شده شاخص PLI برابر با $0/817$ و نشان‌دهنده سطح آلودگی "کم" خاک در منطقه مورد مطالعه بود.

جدول ۳- نتایج ارزیابی خطر غیرسلطان‌زایی (HQ و HI) عناصر مورد مطالعه در نمونه‌های خاک مورد مطالعه

| منطقه | گروه سنی | مسیر تماس | ضریب خطر (HQ) | | | | | | شاخص |
|----------|------------|-----------|------------------------|------------------------|------------------------|-----------------------|-----------------------|-----------------------|-----------------------|
| | | | آهن | روی | کادمیم | مس | منگنز | مولیبدن | |
| مرکز شهر | بلع | | $2/84 \times 10^{-1}$ | $1/40 \times 10^{-3}$ | $1/70 \times 10^{-3}$ | $7/13 \times 10^{-3}$ | $9/14 \times 10^{-1}$ | $1/42 \times 10^{-3}$ | $3/87 \times 10^{-1}$ |
| مرکز شهر | استنشاق | | $7/96 \times 10^{-6}$ | $3/92 \times 10^{-8}$ | $4/76 \times 10^{-8}$ | $1/70 \times 10^{-7}$ | $8/22 \times 10^{-8}$ | $5/56 \times 10^{-8}$ | $8/22 \times 10^{-3}$ |
| مرکز شهر | تماس پوستی | کل | $2/85 \times 10^{-1}$ | $1/42 \times 10^{-3}$ | $1/17 \times 10^{-3}$ | $7/13 \times 10^{-3}$ | $1/06 \times 10^{-1}$ | $5/99 \times 10^{-6}$ | $7/70 \times 10^{-3}$ |
| حومه شهر | بلع | | $2/26 \times 10^{-1}$ | $1/32 \times 10^{-3}$ | $2/18 \times 10^{-3}$ | $4/96 \times 10^{-5}$ | $7/15 \times 10^{-2}$ | $1/18 \times 10^{-3}$ | $3/08 \times 10^{-1}$ |
| حومه شهر | استنشاق | | $6/734 \times 10^{-6}$ | $3/769 \times 10^{-8}$ | $6/10 \times 10^{-8}$ | $1/38 \times 10^{-7}$ | $7/43 \times 10^{-8}$ | $4/71 \times 10^{-8}$ | $8/22 \times 10^{-4}$ |
| حومه شهر | تماس پوستی | کل | $6/735 \times 10^{-4}$ | $1/85 \times 10^{-5}$ | $6/111 \times 10^{-4}$ | $4/62 \times 10^{-6}$ | $5/00 \times 10^{-5}$ | $3/32 \times 10^{-6}$ | $6/28 \times 10^{-3}$ |
| | | | $2/27 \times 10^{-1}$ | $1/34 \times 10^{-3}$ | $2/79 \times 10^{-3}$ | $4/95 \times 10^{-5}$ | $8/29 \times 10^{-2}$ | $1/19 \times 10^{-3}$ | $3/20 \times 10^{-1}$ |

ادامه جدول ۳- نتایج ارزیابی خطر غیرسرطان‌زایی (HQ و HI) عناصر مورد مطالعه در نمونه‌های خاک مورد مطالعه

| شاخص (HI) | ضریب خطر (HQ) | | | | | | مسیر تماس | گروه سنی | منطقه |
|------------------------|------------------------|------------------------|------------------------|------------------------|------------------------|------------------------|------------|----------|-------|
| | منگنز | مولیبدن | خطر (HI) | کادمیم | رسوی | آهن | | | |
| ۳/۶۵۱×۱۰ ^{-۱} | ۹/۹۹×۱۰ ^{-۴} | ۸/۶۲×۱۰ ^{-۲} | ۵/۹۱×۱۰ ^{-۳} | ۲/۰۳×۱۰ ^{-۳} | ۱/۴۳×۱۰ ^{-۳} | ۲/۶۸×۱۰ ^{-۱} | بلع | روستایی | کودک |
| ۷/۷۵۱×۱۰ ^{-۳} | ۲/۷۹×۱۰ ^{-۸} | ۷/۷۵۱×۱۰ ^{-۳} | ۱/۶۵×۱۰ ^{-۷} | ۵/۶۸×۱۰ ^{-۸} | ۴/۰۰×۱۰ ^{-۸} | ۷/۵۱×۱۰ ^{-۶} | استنشاق | | |
| ۷/۷۶۱×۱۰ ^{-۳} | ۲/۸۰×۱۰ ^{-۴} | ۷/۰۳۱×۱۰ ^{-۳} | ۵/۵۲×۱۰ ^{-۶} | ۵/۶۹×۱۰ ^{-۴} | ۲/۰۱×۱۰ ^{-۵} | ۷/۵۳×۱۰ ^{-۴} | تماس پوستی | | |
| ۳/۸۰۱×۱۰ ^{-۱} | ۱/۲۷۱×۱۰ ^{-۳} | ۱/۰۰۱×۱۰ ^{-۱} | ۵/۹۲×۱۰ ^{-۳} | ۲/۶۰×۱۰ ^{-۳} | ۱/۴۵×۱۰ ^{-۳} | ۲/۷۹×۱۰ ^{-۱} | کل | | |
| ۳/۴۷۱×۱۰ ^{-۱} | ۹/۳۸۱×۱۰ ^{-۴} | ۸/۱۰۱×۱۰ ^{-۲} | ۵/۵۶۱×۱۰ ^{-۳} | ۱/۹۸۱×۱۰ ^{-۳} | ۱/۳۷۱×۱۰ ^{-۳} | ۲/۰۵۱×۱۰ ^{-۱} | بلع | | |
| ۷/۳۳۱×۱۰ ^{-۳} | ۲/۶۷۱×۱۰ ^{-۸} | ۷/۳۲۱×۱۰ ^{-۳} | ۱/۵۵۱×۱۰ ^{-۷} | ۵/۵۴۱×۱۰ ^{-۸} | ۳/۸۴۱×۱۰ ^{-۸} | ۷/۱۵۱×۱۰ ^{-۶} | استنشاق | | |
| ۷/۲۶۱×۱۰ ^{-۳} | ۲/۶۳۱×۱۰ ^{-۴} | ۵/۷۱۱×۱۰ ^{-۳} | ۵/۱۹۱×۱۰ ^{-۶} | ۵/۵۶۱×۱۰ ^{-۴} | ۱/۹۲۱×۱۰ ^{-۵} | ۷/۱۶۱×۱۰ ^{-۴} | تماس پوستی | میانگین | کودک |
| ۳/۶۲۱×۱۰ ^{-۱} | ۱/۲۰۱×۱۰ ^{-۳} | ۹/۴۵۱×۱۰ ^{-۲} | ۵/۵۶۱×۱۰ ^{-۳} | ۲/۵۴۱×۱۰ ^{-۳} | ۱/۳۹۱×۱۰ ^{-۳} | ۲/۵۶۱×۱۰ ^{-۱} | کل | | |
| ۴/۱۴۱×۱۰ ^{-۱} | ۱/۵۳۱×۱۰ ^{-۴} | ۹/۸۰۱×۱۰ ^{-۳} | ۷/۵۷۱×۱۰ ^{-۴} | ۱/۸۲۱×۱۰ ^{-۴} | ۱/۵۰۱×۱۰ ^{-۴} | ۳/۰۵۱×۱۰ ^{-۲} | بلع | | |
| ۲/۹۷۱×۱۰ ^{-۳} | ۲/۰۴۱×۱۰ ^{-۸} | ۲/۹۶۱×۱۰ ^{-۳} | ۷/۱۵۱×۱۰ ^{-۸} | ۱/۷۲۱×۱۰ ^{-۸} | ۱/۴۲۱×۱۰ ^{-۸} | ۲/۸۷۱×۱۰ ^{-۶} | استنشاق | | |
| ۱/۱۷۱×۱۰ ^{-۳} | ۷/۰۸۱×۱۰ ^{-۷} | ۹/۷۸۱×۱۰ ^{-۴} | ۸/۷۴۱×۱۰ ^{-۷} | ۷/۲۸۱×۱۰ ^{-۵} | ۳/۰۰۱×۱۰ ^{-۶} | ۱/۲۲۱×۱۰ ^{-۴} | تماس پوستی | | |
| ۴/۵۶۱×۱۰ ^{-۱} | ۱/۵۳۱×۱۰ ^{-۴} | ۱/۳۷۱×۱۰ ^{-۲} | ۷/۵۸۱×۱۰ ^{-۴} | ۲/۰۵۱×۱۰ ^{-۴} | ۱/۵۳۱×۱۰ ^{-۴} | ۳/۰۶۱×۱۰ ^{-۲} | کل | مرکز شهر | کودک |
| ۳/۳۰۱×۱۰ ^{-۱} | ۱/۲۷۱×۱۰ ^{-۴} | ۷/۶۶۱×۱۰ ^{-۳} | ۵/۳۰۱×۱۰ ^{-۴} | ۲/۳۴۱×۱۰ ^{-۴} | ۱/۴۲۱×۱۰ ^{-۴} | ۲/۴۳۱×۱۰ ^{-۲} | بلع | | |
| ۲/۳۲۱×۱۰ ^{-۳} | ۱/۷۰۱×۱۰ ^{-۸} | ۲/۳۲۱×۱۰ ^{-۳} | ۴/۹۶۱×۱۰ ^{-۸} | ۲/۲۰۱×۱۰ ^{-۸} | ۱/۳۳۱×۱۰ ^{-۸} | ۲/۲۹۱×۱۰ ^{-۶} | استنشاق | | |
| ۹/۵۹۱×۱۰ ^{-۴} | ۵/۰۷۱×۱۰ ^{-۷} | ۷/۷۵۱×۱۰ ^{-۴} | ۷/۰۰۱×۱۰ ^{-۷} | ۹/۳۳۱×۱۰ ^{-۵} | ۲/۸۳۱×۱۰ ^{-۶} | ۹/۷۰۱×۱۰ ^{-۵} | تماس پوستی | | |
| ۳/۷۲۱×۱۰ ^{-۱} | ۱/۲۸۱×۱۰ ^{-۴} | ۱/۰۷۱×۱۰ ^{-۲} | ۵/۳۱۱×۱۰ ^{-۴} | ۳/۲۷۱×۱۰ ^{-۴} | ۱/۴۴۱×۱۰ ^{-۴} | ۲/۴۴۱×۱۰ ^{-۲} | کل | | |
| ۳/۹۱۱×۱۰ ^{-۱} | ۱/۰۷۱×۱۰ ^{-۴} | ۹/۲۳۱×۱۰ ^{-۳} | ۷/۳۴۱×۱۰ ^{-۴} | ۲/۱۸۱×۱۰ ^{-۴} | ۱/۵۳۱×۱۰ ^{-۴} | ۲/۸۸۱×۱۰ ^{-۲} | بلع | | |
| ۲/۸۰۱×۱۰ ^{-۳} | ۱/۰۱۱×۱۰ ^{-۸} | ۲/۷۹۱×۱۰ ^{-۳} | ۵/۹۴۱×۱۰ ^{-۸} | ۲/۰۵۱×۱۰ ^{-۸} | ۱/۴۴۱×۱۰ ^{-۸} | ۲/۷۱۱×۱۰ ^{-۶} | استنشاق | روستایی | کودک |
| ۱/۱۷۱×۱۰ ^{-۳} | ۴/۲۷۱×۱۰ ^{-۵} | ۹/۲۲۱×۱۰ ^{-۴} | ۸/۴۳۱×۱۰ ^{-۷} | ۸/۶۹۱×۱۰ ^{-۵} | ۳/۰۶۱×۱۰ ^{-۶} | ۱/۱۵۱×۱۰ ^{-۴} | تماس پوستی | | |
| ۴/۳۱۱×۱۰ ^{-۱} | ۱/۵۰۱×۱۰ ^{-۴} | ۱/۲۹۱×۱۰ ^{-۲} | ۶/۳۵۱×۱۰ ^{-۴} | ۳/۰۵۱×۱۰ ^{-۴} | ۱/۵۷۱×۱۰ ^{-۴} | ۲/۸۹۱×۱۰ ^{-۲} | کل | | |
| ۳/۷۷۱×۱۰ ^{-۱} | ۱/۰۱۱×۱۰ ^{-۴} | ۸/۷۳۱×۱۰ ^{-۳} | ۵/۹۶۱×۱۰ ^{-۴} | ۲/۱۲۱×۱۰ ^{-۴} | ۱/۴۷۱×۱۰ ^{-۴} | ۲/۷۴۱×۱۰ ^{-۲} | بلع | | |
| ۲/۶۴۱×۱۰ ^{-۳} | ۹/۴۶۱×۱۰ ^{-۹} | ۲/۶۴۱×۱۰ ^{-۳} | ۵/۵۸۱×۱۰ ^{-۸} | ۲/۰۰۱×۱۰ ^{-۸} | ۱/۳۸۱×۱۰ ^{-۸} | ۲/۵۸۱×۱۰ ^{-۶} | استنشاق | میانگین | کودک |
| ۱/۱۱۱×۱۰ ^{-۳} | ۴/۰۱۱×۱۰ ^{-۵} | ۸/۷۷۱×۱۰ ^{-۴} | ۷/۹۲۱×۱۰ ^{-۷} | ۸/۴۹۱×۱۰ ^{-۵} | ۲/۹۴۱×۱۰ ^{-۶} | ۱/۰۹۱×۱۰ ^{-۴} | تماس پوستی | | |
| ۴/۰۹۱×۱۰ ^{-۲} | ۱/۴۱۱×۱۰ ^{-۴} | ۱/۲۳۱×۱۰ ^{-۲} | ۵/۹۷۱×۱۰ ^{-۴} | ۲/۹۸۱×۱۰ ^{-۴} | ۱/۵۰۱×۱۰ ^{-۴} | ۲/۷۵۱×۱۰ ^{-۲} | کل | | |

برای کودکان در محدوده ۱×10^{-۶} تا ۱×10^{-۴} و نشان‌دهنده خطر سرطان‌زایی قابل توجه ناشی از بلع خاک آلوده کادمیم بود. این در حالی است که میانگین مقادیر CR_{ing} برای بزرگسالان کوچک‌تر از ۱×10^{-۶} و بیانگر عدم بروز خطر سرطان‌زایی از طریق بلع ذرات خاک آلوده به کادمیم بود. به علاوه، مقادیر TCR برای کودکان و بزرگسالان به ترتیب برابر با $۱/۰۴\times 10^{-۶}$ و $۴/۴۵\times 10^{-۷}$ و نشان‌دهنده سطوح خطر سرطان‌زایی بود.

نتایج ارزیابی خطر سرطان‌زایی مواجهه با ذرات خاک آلوده به عنصر کادمیم از طریق بلع، استنشاق و تماس پوستی برای هر دو گروه سنی در جدول ۴ آورده شده است. نتایج نشان داد که میانگین مقادیر CR_{der} و CR_{inh} در هر دو گروه کودک و بزرگسال در همه مناطق مورد مطالعه کوچک‌تر از ۱×10^{-۶} بوده و هیچ خطر سرطان‌زایی از طریق استنشاق و تماس پوستی با ذرات خاک آلوده به عنصر کادمیم برای افراد حادث نخواهد شد. از طرفی، میانگین مقادیر CR_{ing}

جدول ۴- نتایج ارزیابی خطر سرطان‌زاوی (CR و TCR) عناصر مورد مطالعه در نمونه‌های خاک مورد مطالعه

| (TCR) | خطر سرطان‌زاوی کل | | | منطقه | گروه سنی |
|-----------------------|------------------------|------------------------|-----------------------|----------|----------|
| | تماس پوستی | استنشاق | بلغ | | |
| $8/89 \times 10^{-7}$ | $2/04 \times 10^{-14}$ | $2/56 \times 10^{-11}$ | $8/89 \times 10^{-7}$ | مرکز شهر | |
| $1/14 \times 10^{-6}$ | $2/72 \times 10^{-14}$ | $3/29 \times 10^{-11}$ | $1/14 \times 10^{-6}$ | حومه شهر | |
| | $2/44 \times 10^{-14}$ | $3/06 \times 10^{-11}$ | $1/06 \times 10^{-6}$ | روستایی | کودک |
| | $2/38 \times 10^{-14}$ | $2/99 \times 10^{-11}$ | $1/04 \times 10^{-6}$ | میانگین | |
| $3/18 \times 10^{-7}$ | $1/25 \times 10^{-14}$ | $3/71 \times 10^{-11}$ | $3/18 \times 10^{-7}$ | مرکز شهر | |
| | $1/89 \times 10^{-7}$ | $4/75 \times 10^{-11}$ | $4/89 \times 10^{-7}$ | حومه شهر | بزرگسال |
| | $1/48 \times 10^{-14}$ | $4/43 \times 10^{-11}$ | $4/55 \times 10^{-7}$ | روستایی | |
| $4/45 \times 10^{-7}$ | $1/45 \times 10^{-14}$ | $4/32 \times 10^{-11}$ | $4/45 \times 10^{-7}$ | میانگین | |

عناصر مورد مطالعه در نمونه‌های خاک از توزیع نرمال

نتایج پردازش آماری داده‌ها

برخوردار بوده‌اند (جدول ۵).

نتایج آزمون آماری K-S نشان داد با توجه به سطح معنی‌داری

(p) بزرگ‌تر از $0/05$ ، همه داده‌های مربوط به مقادیر محتوی

جدول ۵- مقادیر سطح معنی‌داری مربوط به بررسی نرمالیتی توزیع داده‌ها

| مولیبدن | منگنز | مس | کادمیم | روی | آهن | سطح معنی‌داری |
|---------|---------|---------|---------|---------|---------|---------------|
| $0/381$ | $0/833$ | $0/070$ | $0/090$ | $0/262$ | $0/820$ | |

و mg/kg $0/999$ کوچک‌تر از محتوی زمینه این عناصر و میانگین محتوای عناصر روی، کادمیم و مس در نمونه‌های خاک سطحی به ترتیب با $0/302$ ، $0/627$ و $0/338 mg/kg$ بزرگ‌تر از مقادیر زمینه این عناصر هستند.

نتایج آزمون تی تک نمونه‌ای (جدول ۶) نشان داد که با توجه به $p < 0/05$ ، میانگین محتوای همه عناصر در نمونه‌های خاک سطحی منطقه مورد مطالعه اختلاف معنی‌دار آماری با غلظت زمینه فلزات داشته و میانگین محتوای عناصر آهن، منگنز و مولیبدن به ترتیب با 570 ، 27240 ، 27240 نتایج آزمون تی تک نمونه‌ای (جدول ۶) نشان داد که با توجه به $p < 0/05$ ، میانگین محتوای همه عناصر در نمونه‌های خاک سطحی منطقه مورد مطالعه اختلاف معنی‌دار آماری با غلظت زمینه فلزات داشته و میانگین محتوای عناصر آهن، منگنز و مولیبدن به ترتیب با 570 ، 27240 ، 27240

جدول ۶- مقایسه میانگین مقادیر عناصر در نمونه‌های خاک با غلظت زمینه (mg/kg)

| عنصر | منطقه | غلظت زمینه (mg/kg) | تفاوت میانگین | آماره t | درجه آزادی | سطح معنی‌داری | فاصله اطمینان (۹۵ درصد) | کران بالا | کران پایین |
|---------|----------|--------------------|---------------|---------|------------|---------------|-------------------------|-----------|------------|
| آهن | مرکز شهر | ۴۷۲۰۰ | -۱۶۸۶۸ | -۱۳/۲ | ۱۶ | ۰/۰۰۰ | -۱۴۱۶۸ | -۱۹۵۶۸ | -۰/۰۰۰ |
| | حومه شهر | ۴۷۲۰۰ | -۲۳۰۳۹ | -۲۰/۳ | ۲۱ | ۰/۰۰۰ | -۲۰۶۸۲ | -۲۵۳۹۷ | -۰/۰۰۰ |
| | روستایی | ۴۷۲۰۰ | -۱۸۵۷۵ | -۱۰/۳ | ۱۰ | ۰/۰۰۰ | -۱۴۵۸۴ | -۲۲۵۶۷ | -۰/۰۰۰ |
| | میانگین | ۴۷۲۰۰ | -۱۹۹۵۹ | -۲۳/۴ | ۴۹ | ۰/۰۰۰ | -۱۸۲۴۶ | -۲۱۶۷۲ | -۰/۰۰۰ |
| روی | مرکز شهر | ۴۰/۲ | ۲۳/۸ | ۱۹/۹ | ۱۶ | ۰/۰۰۰ | ۲۶/۴ | ۲۱/۳ | -۰/۰۰۰ |
| | حومه شهر | ۴۰/۲ | ۲۰/۱ | ۱۲/۲ | ۲۱ | ۰/۰۰۰ | ۲۳/۵ | ۱۶/۷ | -۰/۰۰۰ |
| | روستایی | ۴۰/۲ | ۲۵/۱ | ۱۶/۹ | ۱۰ | ۰/۰۰۰ | ۲۸/۴ | ۲۱/۸ | -۰/۰۰۰ |
| | میانگین | ۴۰/۲ | ۲۲/۵ | ۲۴/۳ | ۴۹ | ۰/۰۰۰ | ۲۴/۴ | ۲۰/۶ | -۰/۰۰۰ |
| کادمیم | مرکز شهر | ۰/۲۳۰ | ۰/۰۲۸ | ۱/۱۱ | ۱۶ | ۰/۲۸۱ | -۰/۰۲۵ | -۰/۰۲۵ | -۰/۰۸۳ |
| | حومه شهر | ۰/۲۳۰ | ۰/۱۰۱ | ۴/۸۰ | ۲۱ | ۰/۰۰۰ | -۰/۱۴۵ | -۰/۰۵۷ | -۰/۰۰۰ |
| | روستایی | ۰/۲۳۰ | ۰/۰۷۹ | ۳/۱۵ | ۱۰ | ۰/۰۱۰ | -۰/۱۳۴ | -۰/۰۲۳ | -۰/۰۱۳ |
| | میانگین | ۰/۲۳۰ | ۰/۰۷۲ | ۴/۹۹ | ۴۹ | ۰/۰۰۰ | -۰/۱۰۱ | -۰/۰۴۳ | -۰/۰۰۰ |
| مس | مرکز شهر | ۲۸/۳ | ۸/۹۹ | ۲/۸۹ | ۱۶ | ۰/۰۱۱ | ۲/۴۰ | ۲/۴۰ | -۱/۵/۵ |
| | حومه شهر | ۲۸/۳ | ۱/۷۹ | ۱/۸۷ | ۲۱ | ۰/۰۷۵ | -۰/۱۹۶ | -۰/۰۷۵ | -۳/۷/۷ |
| | روستایی | ۲۸/۳ | ۷/۷۰ | ۵/۱۷ | ۱۰ | ۰/۰۰۰ | ۴/۳۸ | ۴/۳۸ | -۱/۱/۰ |
| | میانگین | ۲۸/۳ | ۵/۵۴ | ۴/۴۱ | ۴۹ | ۰/۰۰۰ | ۳/۰۲ | ۳/۰۲ | -۸/۰/۶ |
| منگنز | مرکز شهر | ۸۵۰ | -۲۱۰ | -۶/۶۷ | ۱۶ | ۰/۰۰۰ | -۱۴۳ | -۲۷۶ | -۰/۰۰۰ |
| | حومه شهر | ۸۵۰ | -۳۴۹ | -۱۳/۲ | ۲۱ | ۰/۰۰۰ | -۲۹۴ | -۴۰۴ | -۰/۰۰۰ |
| | روستایی | ۸۵۰ | -۳۴۱ | -۵/۸۱ | ۱۰ | ۰/۰۰۰ | -۱۵۲ | -۳۴۱ | -۰/۰۰۰ |
| | میانگین | ۸۵۰ | -۲۷۹ | -۱۳/۹ | ۴۹ | ۰/۰۰۰ | -۲۳۹ | -۳۱۹ | -۰/۰۰۰ |
| مولیبدن | مرکز شهر | ۲/۶۰ | -۱/۵۱ | -۱۳/۳ | ۱۶ | ۰/۰۰۰ | -۱/۲۷ | -۱/۷۵ | -۰/۰۰۰ |
| | حومه شهر | ۲/۶۰ | -۱/۶۹ | -۱۹/۹ | ۲۱ | ۰/۰۰۰ | -۱/۵۲ | -۱/۸۷ | -۰/۰۰۰ |
| | روستایی | ۲/۶۰ | -۱/۵۳ | -۱۷/۹ | ۱۰ | ۰/۰۰۰ | -۱/۳۴ | -۱/۷۲ | -۰/۰۰۰ |
| | میانگین | ۲/۶۰ | -۱/۶۰ | -۲۷/۹ | ۴۹ | ۰/۰۰۰ | -۱/۴۸ | -۱/۷۲ | -۰/۰۰۰ |

بحث

است (جدول ۲). از دیگر سو، ترتیب نزولی مقادیر میانگین عناصر به صورت آهن > منگنز > روی > مس > مولیبدن > کادمیم بود. همچنین، بررسی نتایج تعیین محتوی فلزات سنگین خاک سطحی منطقه مورد مطالعه در امتداد شیب شهرنشینی نشان داد که بیشینه میانگین محتوی عناصر آهن، مس، منگنز و

بررسی نتایج تعیین محتوی عناصر کمیاب در خاک سطحی نشان داد که میانگین محتوی عناصر آهن، روی، کادمیم، مس، منگنز و مولیبدن در منطقه مورد مطالعه به ترتیب برابر با ۰/۹۹۹ mg/kg و ۵۷۰، ۲۷۲۴۰، ۶۲/۷، ۳۳/۸، ۰/۳۰۲، ۰/۰۳۰۲ و ۰/۰۰۰ بوده

ترافیکی و صنعتی و محتوی آهن، منگنز و نیکل تحت کنترل عوامل طبیعی و انسانی بوده است (۴۷). نتایج پژوهش Bibi و همکاران (۲۰۲۳) نیز که با هدف ارزیابی آلودگی فلزات سنگین خاک سطحی وین اتریش در امتداد شیب شهرنشینی انجام یافت، نشان داد که بیشینه غلظت عناصر مس، سرب و روی مربوط به مناطق مرکزی شهر و متاثر از انتشارات ترافیکی بوده است (۱۶). از طرفی، Sidikjan و همکاران (۲۰۲۲) با ارزیابی محتوی و آلودگی فلزات سنگین خاک سطحی در امتداد شیب شهرنشینی ارومچی چین، بیشینه انباشت عنصر مس در خاک سطحی شهر ارومچی را در مناطق روستایی و متاثر از فعالیتهای کشاورزی گزارش کردند (۴۸). همچنین، Xie و همکاران (۲۰۱۹) و Streeter و همکاران (۲۰۱۹) تغییرات محتوی فلزات سنگین خاک سطحی در امتداد شیب شهرنشینی را با کاربری‌های مختلف در مناطق مرکزی شهر، حومه شهر و روستایی و انتشارات انسان‌زد مرتبه دانستند (۴۹، ۵۰).

با استناد به نتایج آزمون تی تکنومونهای، میانگین محتوی عناصر آهن، منگنز و مولیبدن به‌طور معنی‌داری کوچک‌تر از محتوی زمینه این عناصر بود. این در حالی است که محتوی عناصر روی، کادمیم و مس به‌ترتیب در ۱۰۰، ۷۶ و ۸۴ درصد نمونه‌ها به‌طور معنی‌داری بزرگ‌تر از مقادیر زمینه این عناصر بود. در این خصوص، مقادیر بیشتر از غلظت زمینه عناصر روی، کادمیم و مس در نمونه‌های خاک سطحی منطقه مورد مطالعه می‌تواند بیانگر آلودگی خاک به این عناصر و نقش عمدۀ منابع انسان‌زد بر محتوی عناصر روی، کادمیم و مس باشد. در مطالعه مشابه، Soltani-Gerdefaramarzi و همکاران (۲۰۲۱) نیز محتوی عناصر آرسنیک، روی و کادمیم در خاک سطحی شهر یزد را بیشتر از مقادیر زمینه و متاثر از فعالیتهای انسانی گزارش کردند (۵۱). از طرفی، Shakeri و همکار (۲۰۲۴) گزارش کردند که میانگین محتوی عناصر آهن، منگنز، مولیبدن و نیکل در خاک سطحی شهر شاهروod کمتر از مقادیر زمینه این عناصر و متاثر از فرآیندهای طبیعی بوده است (۳۴).

مولیبدن مربوط به نمونه‌های مرکز شهر بوده است. این در حالی است که بیشینه میانگین محتوی عناصر روی و کادمیم به‌ترتیب به نمونه‌های خاک جمع‌آوری شده از مناطق روستایی و حومه شهر تعلق داشت. در این خصوص، می‌توان اذعان داشت که تنوع منشا عناصر، عامل اصلی احتمالی محتوی متمایز عناصر در خاک سطحی منطقه مورد مطالعه بوده است. در (۲۰۲۲) Li و همکاران (۲۰۲۳) نیز غلظت و تغییرات متمایز محتوی عناصر آهن، روی، سرب، کادمیم، کروم، مس و نیکل در خاک سطحی نانجینگ (چین) و والدیویا (شیلی) را با تنوع منابع انتشار عناصر و شدت و تمرکز فعالیتهای شهری مرتبط دانستند (۴۳، ۴۴). اگرچه، آهن و منگنز به‌عنوان عناصری با فراوانی زیاد در پوسته به‌طور عمدۀ از فرآیندهای طبیعی نشات می‌گیرند، اما فعالیتهای شهری (احتراق سوخت فسیلی، انتشارات صنعتی و ترافیکی) نیز از منابع مهم انسان‌زد انتشار این عناصر محسوب می‌شوند (۲۱، ۲۲). از طرفی، فعالیتهای کشاورزی، انتشارات صنعتی و ترافیکی (فرایش بدن و قطعات خودرو و نشت روان‌کننده‌ها) از منابع عمدۀ و مهم انتشار عناصر روی، کادمیم، مس و مولیبدن در زیست‌بوم شهری هستند (۴۵، ۴۶). از این‌رو، بیشینه محتوی عناصر آهن، مس، منگنز و مولیبدن در مناطق مرکزی شهر با کاربری عمدۀ مسکونی و ترافیکی را می‌توان با انتشارات خانگی (احتراق سوخت فسیلی) و ترافیکی مرتبط دانست. از طرفی، افزایش محتوی عنصر روی در مناطق روستایی با کاربری عمدۀ کشاورزی را می‌توان با نهاده‌های کشاورزی (کود و آفت‌کش‌ها) مرتبط دانست. همچنین، بیشینه میانگین محتوی عنصر کادمیم در مناطق حومه شهر با کاربری عمدۀ صنعتی (صنایع کوچک محلی نظیر فعالیتهای ذوب و فرآوری فلزات، مراکز تعمیر و نگهداری خودرو) می‌تواند ناشی از انتشارات صنعتی باشد. نتایج پژوهش Saedpanah و همکاران (۲۰۱۸) نیز نشان داد غلظت عناصر روی و مس در خاک سطحی شهر سنندج به‌طور عمدۀ متاثر از کاربری‌های شهری و ناشی از انتشارات

به مناطق مرکزی شهر و برای عناصر روی و کادمیم به ترتیب مربوط به مناطق روستایی و حومه شهر بود. در این خصوص، Bibi و همکاران (۲۰۲۳) نیز با استناد به مقادیر محاسبه شده PI، سطح آلودگی عناصر روی، سرب، کادمیم، مس، منگنز و نیکل در خاک سطحی شهر وین اتریش را "کم" تا "متوسط" و ناشی از انتشارات ترافیکی گزارش کردند (۱۶). از طرفی، نتایج مقادیر محاسبه شده شاخص PLI، آلودگی "کم" خاک سطحی به عناصر آهن، روی، کادمیم، مس، منگنز و مولیبدن در همه مناطق مورد مطالعه را نشان داد. همچنین، بیشینه میانگین مقادیر شاخص PLI به مناطق روستایی تعلق داشت. یافته‌های حاصل، مؤید تأثیر فعالیت‌های شهری (صنعت، ترافیک و کشاورزی) بر آلودگی خاک به عناصر مورد مطالعه در شهر القاسم است. از این‌رو، اقدامات کنترلی و تمهدیات مدیریتی به منظور کاهش انتشار منابع انسان‌زاد و اثرات نامطلوب محیط‌زیستی فلزات سنگین مورد مطالعه ضروری است.

ارزیابی خطر سلامت رویکردی مناسب برای تخمین خطر ابتلای انسان به عوارض سلطان‌زا و غیرسلطان‌زا ناشی از مواجهه با آلاینده‌های سمی است (۵۴). نتایج محاسبه خطر غیرسلطان‌زا نی نشان داد که بلع با اختصاص ۹۵/۹ و ۹۰/۲ درصد از کل شاخص خطر تجمعی غیرسلطان‌زا، به ترتیب برای کودکان و بزرگسالان، مسیر اصلی مواجهه شهروندان با خاک آلوده به عناصر کمیاب بوده است. Dehghani و همکاران (۲۰۲۰)، Jiang و همکاران (۲۰۱۷)، Lestiani و همکاران (۲۰۲۳) و Zhang و همکاران (۲۰۲۴) نیز با ارزیابی مخاطره سلامت مواجهه با خاک سطحی آلوده به عناصر کمیاب به ترتیب در شهرهای تهران (ایران)، جیدونگ (چین)، جاوا (اندونزی) و شانکسی (چین) اذعان داشتند که بلع مسیر اصلی مواجهه شهروندان با ذرات خاک آلوده به عناصر آهن، آرسنیک، روی، کادمیم، مس، منگنز، مولیبدن و HI نیکل بوده است (۵۵-۵۸). همچنین، مقادیر محاسبه شده برای عناصر آهن، روی، کادمیم، مس، منگنز و مولیبدن در هر دو گروه کودکان و بزرگسالان کوچک‌تر از یک و بیانگر عدم

شاخص‌های EF، PI و PLI به عنوان رویکردهای مناسب برای تعیین سطوح آلودگی عناصر کمیاب خاک، برآوردهی جامع از کیفیت خاک را ارایه می‌دهند. مقادیر محاسبه شده شاخص EF بیان‌گر غنی‌شدگی "کم" عناصر روی، کادمیم، مس و منگنز در خاک سطحی همه مناطق نمونه‌برداری بود (نمودار ۱-الف). این در حالی است که مقادیر شاخص EF برای عنصر مولیبدن، سطح عدم غنی‌شدگی خاک به این عنصر را نشان داد. از طرفی، میانگین مقادیر EF برای عناصر روی، کادمیم و مس بزرگ‌تر از ۲ بود که افزون بر این که آلودگی خاک به این عناصر را تایید می‌کند، می‌تواند بیانگر منشا انسان‌زاد عناصر روی، کادمیم و مس در منطقه مورد مطالعه باشد. این در حالی است که میانگین مقادیر EF کوچک‌تر از ۲ برای عناصر منگنز و مولیبدن را می‌توان با منشا طبیعی (فرآیندهای زمین‌زایی) آن‌ها مرتبط دانست. در مطالعه مشابه، Vaziri و همکاران (۲۰۲۱) نیز با استناد به میانگین مقادیر شاخص EF در خاک‌های سطحی استان خوزستان، اذعان داشتند که غنی‌شدگی عناصر مس، کادمیم و روی در محدوده "متوسط" تا "زیاد" و ناشی از منابع انسان‌زاد (انتشارات ترافیکی و صنعتی) بوده است (۵۲). همچنین، Al-Swadi و همکاران (۲۰۲۲) با استناد به میانگین مقادیر EF بزرگ‌تر از ۲ برای عناصر روی و مس در خاک سطحی شهر ریاض (عربستان)، غنی‌شدگی این عناصر را به طور عمده ناشی از فعالیت‌های انسانی (صنعتی و شهری) گزارش کردند (۵۳). از طرفی، بیشینه میانگین مقادیر EF برای عناصر روی، کادمیم و مولیبدن مربوط به مناطق حومه شهر و برای عناصر مس و منگنز به ترتیب مربوط به مناطق روستایی و مرکز شهر بود. از سوی دیگر، میانگین مقادیر محاسبه شده شاخص PI، سطح آلودگی کم خاک به عناصر آهن، منگنز و مولیبدن در همه مناطق مورد مطالعه را نشان داد (نمودار ۱-ب). در همین حال، مقادیر شاخص PI برای عناصر روی، کادمیم و مس بیانگر شرایط آلودگی "متوسط" خاک به این عناصر بود. همچنین، بیشینه میانگین مقادیر شاخص PI برای عناصر آهن، مس، منگنز و مولیبدن مربوط

اقدامات نظارتی و کنترلی بهمنظور کاهش خطر بهداشتی و انتشار عناصر بهویژه آهن و منگنز در مناطق مرکزی شهر و عنصر کادمیم در مناطق حومه شهر ضروری است.

نتیجه‌گیری

این مطالعه با هدف تعیین محتوی، ارزیابی آلودگی و خطر سلامت برخی فلزات سنگین در خاک سطحی شهر القاسم در استان بابل عراق انجام شد. نتایج تعیین محتوی عناصر در امتداد شیب شهرنشینی نشان داد که محتوی عنصر آهن، مس، منگنز و مولیبدن تحت تاثیر انتشارات خانگی و ترافیکی بوده است؛ با این حال، عنصر روی بهطور عمده ناشی از فعالیتهای کشاورزی و عنصر کادمیم نیز تحت تاثیر انتشارات صنعتی بوده است. همچنین، میانگین مقادیر بیشتر از غلظت زمینه عناصر روی، کادمیم و مس در نمونه‌های خاک سطحی مؤید آلودگی خاک به این عناصر و نقش عمده منابع انسان‌زاد بر محتوی عناصر روی، EF کادمیم و مس بود. از سوی دیگر، نتایج محاسبه شاخص نشان داد که غنی‌شدگی عناصر روی، کادمیم، مس، منگنز و مولیبدن در منطقه مورد مطالعه در محدوده "بدون غنی‌شدگی" تا "غنی‌شدگی کم" بوده است. همچنین، نتایج حاصل از مقادیر شاخص PI، سطح آلودگی "کم" تا "متوسط" خاک سطحی به عناصر آهن، روی، کادمیم، مس، منگنز و مولیبدن را نشان داد. میانگین مقدار شاخص PLI نیز با 817 ± 0.817 بیانگر سطح آلودگی "کم" خاک در منطقه مورد مطالعه بود. از طرفی، مقادیر محاسبه شده شاخص خطر غیرسرطان‌زایی همه عناصر برای هر دو گروه سنی کودک و بزرگسالان بیانگر عدم بروز خطر غیرسرطان‌زایی قابل توجه بود. در همین حال، میانگین مقادیر TCR عنصر کادمیم نشان‌دهنده سطح خطر سرطان‌زایی قابل توجه و تهدیدی بالقوه برای سلامت کودکان بود. به علاوه، مشخص شد که بلع مسیر اصلی مواجهه شهروندان با ذرات خاک آلوده به فلزات سنگین است. بهطور کلی، نتایج حاصل از این پژوهش بیانگر تاثیر فعالیتهای شهری (ترافیک، صنعت و کشاورزی) بر آلودگی خاک

بروز خطر غیرسرطان‌زایی ناشی از مواجهه با خاک آلوده به این عناصر بود. نتایج همچنین نشان داد که آهن و منگنز به‌طور متوسط $96/8 \pm 95/2$ درصد از کل مقادیر HI به‌ترتیب برای کودکان و بزرگسالان را به‌خود اختصاص داده‌اند و از این‌رو، می‌توان اذعان داشت که این عناصر عامل اصلی کنترل خطرات غیرسرطان‌زایی هستند. در همین حال، بیشینه میانگین مقادیر محاسبه شده HI کل در هر دو گروه سنی کودک و بزرگسال مربوط به مناطق مرکزی شهر بود. نظر به تراکم زیاد جمعیتی در منطقه مرکزی شهر و بیشینه محتوی عناصر آهن و منگنز در این منطقه، افزایش غلظت این عناصر در آینده می‌تواند به‌عنوان تهدید بالقوه مضر برای سلامت ساکنان محلی بهویژه کودکان منجر به افزایش بروز خطر غیرسرطان‌زایی شود. Gopal و همکاران (۲۰۲۴) نیز با ارزیابی خطر سلامت مواجهه با آلودگی عناصر بالقوه سمی در خاک شهر چنای هند، عناصر کروم و آهن را به‌عنوان عوامل اصلی بروز خطر غیرسرطان‌زایی معرفی کردند (۵۹). از دیگر سو، نتایج محاسبه خطر سرطان‌زایی نشان داد که میانگین مقادیر CR_{der} و CR_{inh} همگی کوچک‌تر از حد آستانه ($10^{-4} \times 10^{-4}$) بودند؛ لذا، هیچ خطر سرطان‌زایی از طریق استنشاق و تماس پوستی با ذرات خاک آلوده به کادمیم برای کودکان و بزرگسالان حادث نشده است. از طرفی، کودکان در معرض خطر سرطان‌زایی قابل توجه ناشی از بلع خاک آلوده به عنصر کادمیم بودند ($10^{-4} < CR \leq 10^{-6}$). این درحالی است که میانگین مقادیر CR_{ing} برای بزرگسالان بیانگر عدم بروز خطر سرطان‌زایی از طریق بلع با ذرات خاک آلوده به کادمیم بود. به علاوه، میانگین مقادیر TCR برای کودکان و بزرگسالان به‌ترتیب برابر با $10^{-6} \times 10^{-4}$ و $10^{-7} \times 10^{-4}$ و نشان‌دهنده سطوح خطر سرطان‌زایی قابل توجه و ایمن بود. در همین حال، بیشینه میانگین مقادیر TCR برای کودکان و بزرگسالان مربوط به مناطق حومه شهر بود. به‌طور کلی، نتایج ارزیابی خطر غیرسرطان‌زایی نشان می‌دهد که خطر سلامتی عناصر در منطقه مورد مطالعه از الگوی محتوی عناصر در امتداد شیب شهرنشینی تبعیت کرده است. از این‌رو،

ملاحظات اخلاقی

نویسنده‌گان همه نکات اخلاقی از جمله عدم سرقت ادبی، انتشار دوگانه، تحریف داده‌ها و داده‌سازی را در این مقاله رعایت کرده‌اند.

تشکر و قدردانی

این مقاله حاصل (بخشی از) رساله دکتری با عنوان "تعیین محتوا، منشا و توزیع جغرافیایی عناصر بالقوه سمی در گردوغبار خیابانی در شهر بابل، عراق" در مقطع دکتری تخصصی در سال ۱۴۰۳ و کد ۱۶۲۸۹۴۱۶۳ است که با حمایت دانشگاه آزاد اسلامی، واحد اصفهان (خوارسگان) اجرا شده است.

شهر القاسم به عناصر آهن، روی، کادمیم، مس، منگنز و مولیبدن بود. از این‌رو، اقدامات کنترلی و تمهیدات مدیریتی با هدف کاهش انتشار منابع انسان‌زاد و اثرات نامطلوب محیط‌زیستی و بهداشتی عناصر در منطقه مورد مطالعه باید مدنظر قرار گیرند. در این خصوص، پایش منظم و دوره‌ای نمونه‌های خاک می‌تواند مفید واقع شود. در نهایت، با توجه به عدم تعیین ویژگی‌های فیزیکوشیمیایی خاک (به عنوان عوامل مهم تاثیرگذار بر محتوی فلزات سنگین خاک) و شناسایی و تعیین منشا عناصر از یکسو، و مطالعه تعداد محدودی از فلزات سنگین، نسبت به انجام پژوهش برای تعیین ویژگی‌های فیزیکوشیمیایی خاک، محتوی سایر فلزات سنگین و تعیین منابع تولید و انتشار عناصر توصیه می‌شود.

References

1. Sobhanardakani S, Jamshidi K. Assessment of metals (Co, Ni, and Zn) content in the sediments of Mighan Wetland using geo-accumulation index. Iranian Journal of Toxicology. 2015;9(30):1386-90.
2. Hosseini NS, Sobhanardakani S, Cheraghi M, Lorestani B, Merrikhpour H. Heavy metal concentrations in roadside plants (*Achillea wilhelmsii* and *Cardaria draba*) and soils along some highways in Hamedan, west of Iran. Environmental Science Pollution Research. 2020;27:13301-14.
3. Shahradnia H, Chamani A, Zamanpoore M, Jalalizand A. Heavy metal pollution in surface sediments of Ghareh-Aghaj River, one of the longest perennial rivers in Iran. Environmental Earth Sciences. 2021;80(3):80-91.
4. Sobhanardakani S. Human health risk assessment of potentially toxic heavy metals in the atmospheric dust of city of Hamedan, west of Iran. Environmental Science and Pollution Research. 2018;25(28):28086-93.
5. Hamood MA, Chamani A, Sobhanardakani S. Health risk assessment of heavy metal exposure

from indoor dust: A case study of residential buildings in Isfahan, Iran. Environmental Health Engineering and Management Journal. 2024;11(1):39-50.

6. Moradi B, Sobhanardakani S, Cheraghi M. Ecological risk of heavy metals in surface soils of urban parks. Iranian Journal of Health and Environment 2018;10(4):429-42 (in Persian).
7. Mohebian M, Sobhanardakani S, Taghavi L, Ghoddousi J. Analysis and potential ecological risk assessment of heavy metals in the surface soils collected from various land uses around Shazand Oil Refinery Complex, Arak, Iran. Arabian Journal of Geosciences. 2021;14(19):2019.
8. Jamshidian A, Chamani A, Ahmadi Nadoushan M. Soil and plant contamination with cadmium in Motteh National Park and Wildlife Refuge (Isfahan, Iran). Environment and Interdisciplinary Development. 2023;8(81):78-90 (in Persian).
9. Nourouzi MM, Chamani A, Shirani M, Malekpouri P, Chuah AL. Effect of Cd and Pb pollutions on physiological growth: wavelet neural network (WNN) as a new approach on age determination of *Coenobita scaevola*. Bulletin of Environmental Contamination and Toxicology. 2018;101:320-25.
10. Mirtamizdoost M, Moghimi Kondolus A, Salavti M, Mortazavi Amiri SJ. Geochemical and environmental investigation of heavy metal contamination in the soils of the urban area of Esfahan. Quaternary Journal of Iran. 2023;9(1, 2):108-30 (in Persian).
11. Sabet Aghlidi P, Cheraghi M, Lorestani B, Sobhanardakani S, Merrikhpour H. Analysis, spatial distribution and ecological risk assessment of arsenic and some heavy metals of agricultural soils, case study: South of Iran. Journal of Environmental Health Science Engineering. 2020;18:665-76.
12. Abdu-Raheem Y, Oyebamiji A, Afolagboye L, Talabi A. Assessment of ecological and health risk impact of heavy metals contamination in stream sediments in Itapaji-Ekiti, SW Nigeria. Journal of Trace Elements and Minerals. 2024;8:100121.
13. Chen X, Lu X. Contamination characteristics and source apportionment of heavy metals in topsoil from an area in Xi'an city, China. Ecotoxicological and Environmental Safety. 2018;151:153-60.
14. Thakkar D, Valand M, Vachhrajani K. Assessment of seasonal variations in soil heavy metal concentrations and potential health risks in Gujarat, India. Environmental Geochemistry and Health 2024;46(10):391.
15. Sellami S, Zeghouan O, Dhahri F, Mechili L, Moussaoui Y, Kebabi B. Assessment of heavy metal pollution in urban and peri-urban soil of Setif

- city (High Plains, eastern Algeria). Environmental Monitoring and Assessment. 2022;194(2):126.
16. Bibi D, Tozser D, Sipos B, Tothmeresz B, Simon E. Heavy metal pollution of soil in Vienna, Austria. Water, Air, & Soil Pollution. 2023;234(4):232.
17. Al-Hamzawi AA, Al-Gharabi MG. Heavy metals concentrations in selected soil samples of Al-Diwaniyah governorate, Southern Iraq. SN Applied Sciences. 2019;1(8):854.
18. Adimalla N, Chen J, Qian H. Spatial characteristics of heavy metal contamination and potential human health risk assessment of urban soils: A case study from an urban region of South India. Ecotoxicology and Environmental Safety. 2020;194:110406.
19. Tepanosyan G, Sahakyan L, Belyaeva O, Maghakyan N, Saghatelian A. Human health risk assessment and riskiest heavy metal origin identification in urban soils of Yerevan, Armenia. Chemosphere. 2017;184:1230-40.
20. Goncharov G, Soktoev B, Farkhutdinov I, Matveenko I. Heavy metals in urban soil: Contamination levels, spatial distribution and human health risk assessment (the case of Ufa city, Russia). Environmental Research. 2024;257:119216.
21. Selahvarzi M, Sobhanardakani S, Hemmami AH, Taghavi L, Ghoddousi J. Contamination and source apportionment of iron, zinc, cadmium and chromium elements in surface soil of Khorramabad county, Iran. Iranian Journal of Health and Environment. 2023;15(4):651-70 (in Persian).
22. Fallah A, Modabberi S, Sayyareh A, Tabakh Shabani AA. Assessment of heavy metal pollution in urban soil in Karaj (Iran). Scientific Quarterly Journal of Geosciences. 2020;29(114):231-40 (in Persian).
23. Bineshpour M, Payandeh K, Nazarpour A, Sabzalipour S. Status, source, human health risk assessment of potential toxic elements (PTEs), and Pb isotope characteristics in urban surface soil, case study: Arak city, Iran. Environmental Geochemistry and Health. 2021;43:4939-58.
24. Shakeri Z, Tehrani GF. Environmental geochemistry, source, and health risk assessment of the potentially toxic elements in the urban soils of Shahrood, Semnan Province. Kharazmi Journal of Earth Sciences. 2024;9(2):1-25 (in Persian).
25. Jafer NA, Azeez AJ, Abojassim AA, Jassim AS. Natural radioactivity for some types of date in Al-Qasim subdistrict, Babylon Governorate. IOP Conference Series: Earth and Environmental Science; 2023; Bristol. p. 012059.
26. Chabuk A, Al-Ansari N, Ezz-Aldeen M, Laue J, Pusch R, Hussain HM, et al. Two scenarios for landfills design in special conditions using the HELP model: a case study in Babylon Governorate,

- Iraq. Sustainability. 2018;10(1):125.
27. Chen W, Cai Y, Zhu K, Wei J, Lu Y. Spatial heterogeneity analysis and source identification of heavy metals in soil: a case study of Chongqing, Southwest China. Chemical and Biological Technologies in Agriculture. 2022;9(1):50.
28. Lian Z, Zhao X, Gu X, Li X, Luan M, Yu M. Presence, sources, and risk assessment of heavy metals in the upland soils of northern China using Monte Carlo simulation. Ecotoxicology and Environmental Safety. 2022;230:113154.
29. Laudino FAR, Agtong RJM, Jumawan JC, Fukuyama M, Elvira MV. Assessment of contamination and potential ecological risks of heavy metals in the bottom sediments of Lake Mainit, Philippines. Journal of Hazardous Materials Advances. 2024;15:100443.
30. Azimzadeh B, Khademi H. Estimation of background concentration of selected heavy metals for pollution assessment of surface soils of Mazandaran province, Iran. Journal of Water and Soil. 2013;27(3):548-59 (in Persian).
31. Elvira MV, Faustino-Eslava DV, De Chavez ERC, Lososo JAL, Fukuyama M. Human health risk associated with heavy metals from consumption of Asiatic Clam, Corbicula fluminea, from Laguna de Bay, Philippines. Environmental Science and Pollution Research. 2021;28:36626-39.
32. Hernandez L, Probst A, Probst JL, Ulrich E. Heavy metal distribution in some French forest soils: evidence for atmospheric contamination. Science of the Total Environment. 2003;312(1-3):195-219.
33. Kyowe H, Awotoye O, Oyekunle J, Olusola J. Index of heavy metal pollution and health risk assessment with respect to Artisanal Gold Mining operations in Ibodi-Ijesa, Southwest Nigeria. Journal of Trace Elements and Minerals. 2024;9:100160.
34. Dong C, Zhang H, Yang H, Wei Z, Zhang N, Bao L. Quantitative source apportionment of potentially toxic elements in Baoshan soils employing combined receptor models. Oxics. 2023;11(3):268.
35. Alam MS, Akter S, Shemul S, Chowdhury TR, Ara S. Assessing the quality and heavy metal contamination of soil in tea gardens around Magurchara gas blowout in Bangladesh using multivariate and soil quality index methods. Journal of Hazardous Materials Advances. 2022;7:100127.
36. Hazrätzadeh S, Sobhanardakani S. Assessment of Zn, Pb, Cd, and Cu contamination in surface soils of urban parks in city of Hamedan. Journal of Soil Research. 2018;32(3):417-30 (in Persian).
37. Kavsar N, Eziz M, Sidikjan N. Pollution

and health risk assessment of hazardous elements in surface dust along an urbanization gradient. *Sustainability*. 2023;15(15):11842.

38. Hosseini NS, Sobhanardakani S. Concentration, sources, potential ecological and human health risks assessment of trace elements in roadside soil in Hamedan metropolitan, west of Iran. *International Journal of Environmental Analytical Chemistry*. 2022;1-24.

39. Abidin AU, Maziya FB, Susetyo SH, Yoneda M, Matsui Y. Heavy metal air pollution in an Indonesian landfill site: Characterization, sources, and health risk assessment for informal workers. *Environmental Advances*. 2024;15:100512.

40. Ma J, Chu L, Sun J, Wang S, Ge M, Deng L. Health risk assessment of trace metal (loid)s in agricultural soils based on Monte Carlo simulation coupled with positive matrix factorization model in Chongqing, southwest China. *Journal of Mountain Science*. 2024;21(1):100-12.

41. Sobhanardakani S. Ecological and human health risk assessment of heavy metal content of atmospheric dry deposition, a case study: Kermanshah, Iran. *Biological Trace Element Research*. 2019;187(2):602-10.

42. Habibi H, Sobhanardakani S, Cheraghi M, Lorestani B, Sadr MK. Analysis, sources and health risk assessment of trace elements in street dust collected from the city of Hamedan, west of Iran.

Arabian Journal of Geosciences. 2022;15(2):168.

43. Li Y, Feng D, Ji M, Li Z, Zhang R, Gu C. The risk characteristics of heavy metals in urban soil of typical developed cities in China. *Environmental Monitoring and Assessment*. 2022;194(2):132.

44. Tardani D, Vera F, Alvarez-Amado F, Tolorza V, Lacassie JP, Jullian D, et al. Evaluating natural and anthropogenic inputs on the distribution of potentially toxic elements in urban soil of Valdivia, Chile. *Environmental Geochemistry and Health*. 2023;45(11):7841-59.

45. Farzan M, Sobhanardakani S. Analysis of Fe, Pb, and Cd content of surface runoff in regions with high traffic intensity in Hamedan, Iran, in 2014. *Health System Research* 2016;12(2):208-13 (in Persian).

46. Hu NW, Yu HW, Deng BL, Hu B, Zhu GP, Yang XT, et al. Levels of heavy metal in soil and vegetable and associated health risk in peri-urban areas across China. *Ecotoxicology and Environmental Safety*. 2023;259:115037.

47. Saedpanah M, Ghorbani F, Amanoallahi J. Source determination, contamination level and predicting of some inorganic contaminants concentration in the top soils of Sanandaj city. *Journal of Environmental Health Engineering*. 2018;5(3):233-50 (in Persian).

48. Sidikjan N, Eziz M, Li X, Wang Y. Spatial distribution, contamination levels, and

- health risks of trace elements in topsoil along an urbanization gradient in the city of Urumqi, China. *Sustainability*. 2022;14(19):12646.
49. Streeter MT, Schilling KE, Demanett Z. Soil health variations across an agricultural-urban gradient, Iowa, USA. *Environmental Earth Sciences*. 2019;78:691.
50. Xie T, Wang M, Chen W, Uwizeyimana H. Impacts of urbanization and landscape patterns on the accumulation of heavy metals in soils in residential areas in Beijing. *Journal of Soils and Sediments*. 2019;19:148-58.
51. Soltani Gerdefaramarzi S, Ghasemi M, Ghanbarian B. Geogenic and anthropogenic sources identification and ecological risk assessment of heavy metals in the urban soil of Yazd, central Iran. *Plos One*. 2021;16(11):260418.
52. Vaziri A, Ghanavati N, Nazarpour A, Babanejad T. Status, source and environmental pollution assessment of some heavy metals in surface soils of Khuzestan Province. *Journal of Health*. 2021;11(5):664-78 (in Persian).
53. Al-Swadi HA, Usman AR, Al-Farraj AS, Al-Wabel MI, Ahmad M, Al-Faraj A. Sources, toxicity potential, and human health risk assessment of heavy metals-laden soil and dust of urban and suburban areas as affected by industrial and mining activities. *Scientific Reports*. 2022;12(1):8972.
54. Yang Q, Zhang L, Wang H, Martin JD. Bioavailability and health risk of toxic heavy metals (As, Hg, Pb and Cd) in urban soils: a Monte Carlo simulation approach. *Environmental Research*. 2022;214:113772.
55. Dehghani S, Moore F, Keshavarzi B, Beverley AH. Health risk implications of potentially toxic metals in street dust and surface soil of Tehran, Iran. *Ecotoxicology and Environmental Safety*. 2017;136:92-103.
56. Jiang HH, Cai LM, Wen HH, Hu GC, Chen LG, Luo J. An integrated approach to quantifying ecological and human health risks from different sources of soil heavy metals. *Science of the Total Environment*. 2020;701:134466.
57. Lestiani DD, Syahfitri WYN, Adventini N, Kurniawati S, Damastuti E, Santoso M, et al. Impacts of a lead smelter in East Java, Indonesia: degree of contamination, spatial distribution, ecological risk, and health risk assessment of potentially toxic elements in soils. *Environmental Monitoring and Assessment* 2023;195(10):1165.
58. Zhang L, Zhu Y, Zhang Y, Zhong J, Li J, Yang S, et al. Characteristics, source analysis, and health risk assessment of potentially toxic elements pollution in soil of dense molybdenum tailing ponds area in central China. *Environmental Geochemistry and Health*. 2024;46(4):129.
59. Gopal V, Krishnamurthy R, Indhumathi A, Sharon BT, Priya TD, Rathinavel K, et al.

Geochemical evaluation, ecological and human health risk assessment of potentially toxic elements in urban soil, Southern India. Environmental Research. 2024;248:118413.



Available online: <https://ijhe.tums.ac.ir>

Original Article



Evaluation of risk and pollution load of heavy metals (Fe, Zn, Pb, Cd, Cu, Mn, and Mo) in surface soil of Al-Qasim city, Babylon governate, Iraq

Jawad Kadhim Noor¹, Atefeh Chamani^{2,*}, Ahmed Najm Abdallh Al-Mosawy³, Narges Kargari⁴

1- Environmental Science and Engineering Department, College of Agriculture and Natural Resources, Isfahan (Khorasan) Branch, Islamic Azad University, Isfahan, Iran

2- Environmental Science and Engineering Department, Waste and Wastewater Research Center, Isfahan (Khorasan) Branch, Islamic Azad University, Isfahan, Iran

3- Environmental Science Department, College of Agriculture, University of Karbala, Karbala, Iraq

4- Environmental Science Department, College of Agriculture, Takestan Branch, Islamic Azad University, Takestan, Iran

ARTICLE INFORMATION:

Received: 27 July 2024

Revised: 01 October 2024

Accepted: 06 October 2024

Published: 11 December 2024

ABSTRACT

Background and Objective: The pollution of trace elements in urban soil has attracted wide attention due to its detrimental environmental and health effects. Therefore, this research was conducted to evaluate of the content, pollution levels, and health risks associated with trace elements (Fe, Zn, Pb, Cd, Cu, Mn, and Mo) in the surface soil of Al-Qasim City in Babylon Governorate in 2024.

Materials and Methods: This descriptive cross-sectional study involved, a total of 50 surface soil samples from a depth of 0-20 cm. The elemental content of the samples was determined using inductively coupled plasma optical spectroscopy (ICP-OES). Additionally, the enrichment factor (EF), pollution index (PI), pollution load index (PLI), hazard index (HI), and carcinogenic risk (CR) were calculated. Statistical data analyses were done using SPSS software.

Results: The average concentrations of Fe, Zn, Cd, Cu, Mn, and Mo in the soil were 27240, 62.7, 0.302, 33.8, 570 and 0.999 mg/kg, respectively. The highest average concentrations of Fe (30,331 mg/kg), Cu (37.3 mg/kg), Mn (639 mg/kg), and Mo (1.08 mg/kg) were found in downtown areas while for the highest concentrations of Zn (65.3 mg/kg) and Cd (0.332 mg/kg) were observed in rural and midtown areas.

Conclusion: The results of this research demonstrate the impact of urban activities—such as traffic, industry, and agriculture—on the trace element pollution in the soil of Al-Qasim City. Therefore, regular monitoring of trace element concentrations and identification of their pollution sources are recommended to reduce and manage associated environmental and health risks.

Keywords: Heavy metals, Urban soil, Pollution indices, Health risk

*Corresponding Author:

atefehchamani@yahoo.com

Please cite this article as: Kadhim Noor J, Chamani A, Najm Abdallh Al-Mosawy A, Kargari N. Evaluation of risk and pollution load of heavy metals (Fe, Zn, Pb, Cd, Cu, Mn, and Mo) in surface soil of Al-Qasim city, Babylon governate, Iraq. Iranian Journal of Health and Environment. 2024;17(3):417-40.